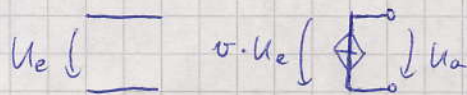


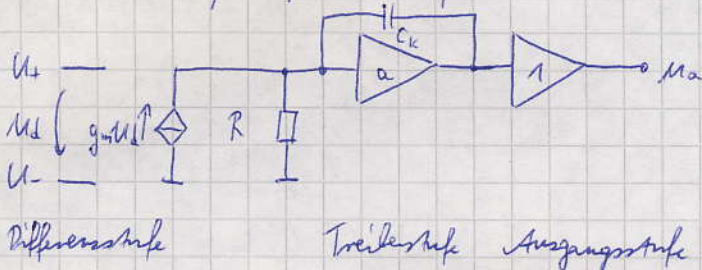
2.2. Spannungsgesteuerte Spannungsquellen



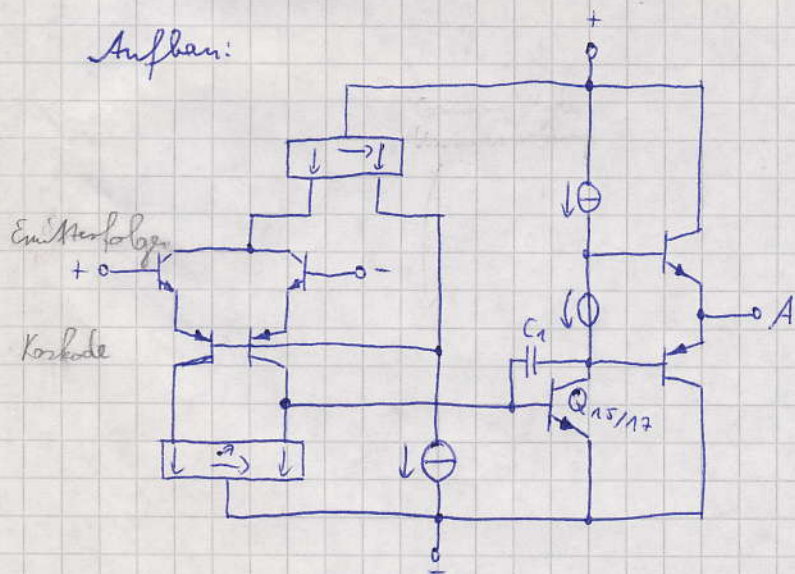
- Anwendung:
- OPV
 - Instrumentationsverstärker
 - Isolationsverstärker
 - Breitbandverstärker

2.2.1. Operationsverstärker

2.2.1.1. prinzipieller Aufbau

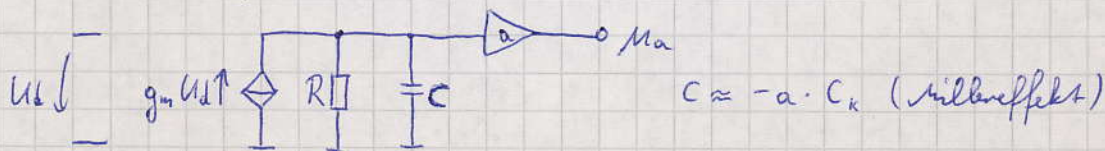


R: r_e der Treiberstufe
 C_k : Frequenzgangkompensation
 → Folie LM 741



2.2.1.2. Kleinsignalverhalten

Modell: (nur dominanter Pol)



$$U_a = a \cdot g_m \left(R \parallel \frac{1}{sC} \right) \cdot U_d = \underbrace{a g_m R}_{\omega_0} \frac{1}{1 + s \underbrace{CR}_{T}}$$

$$\omega_0 \approx 10^4 \dots 10^6$$

$$\omega_g = \frac{1}{T} \approx 10 \dots 100 \text{ Hz}$$

Electrical Characteristics (Note 5) (Continued)

Note 3: For operation at elevated temperatures, these devices must be derated based on thermal resistance, and T_j max. (listed under "Absolute Maximum Ratings"). $T_j = T_A + (\theta_{JA} P_D)$.

Thermal Resistance	Cerdip (J)	DIP (N)	HO8 (H)	SO-8 (M)
θ_{JA} (Junction to Ambient)	100°C/W	100°C/W	170°C/W	195°C/W
θ_{JC} (Junction to Case)	N/A	N/A	25°C/W	N/A

Note 4: For supply voltages less than $\pm 15V$, the absolute maximum input voltage is equal to the supply voltage.

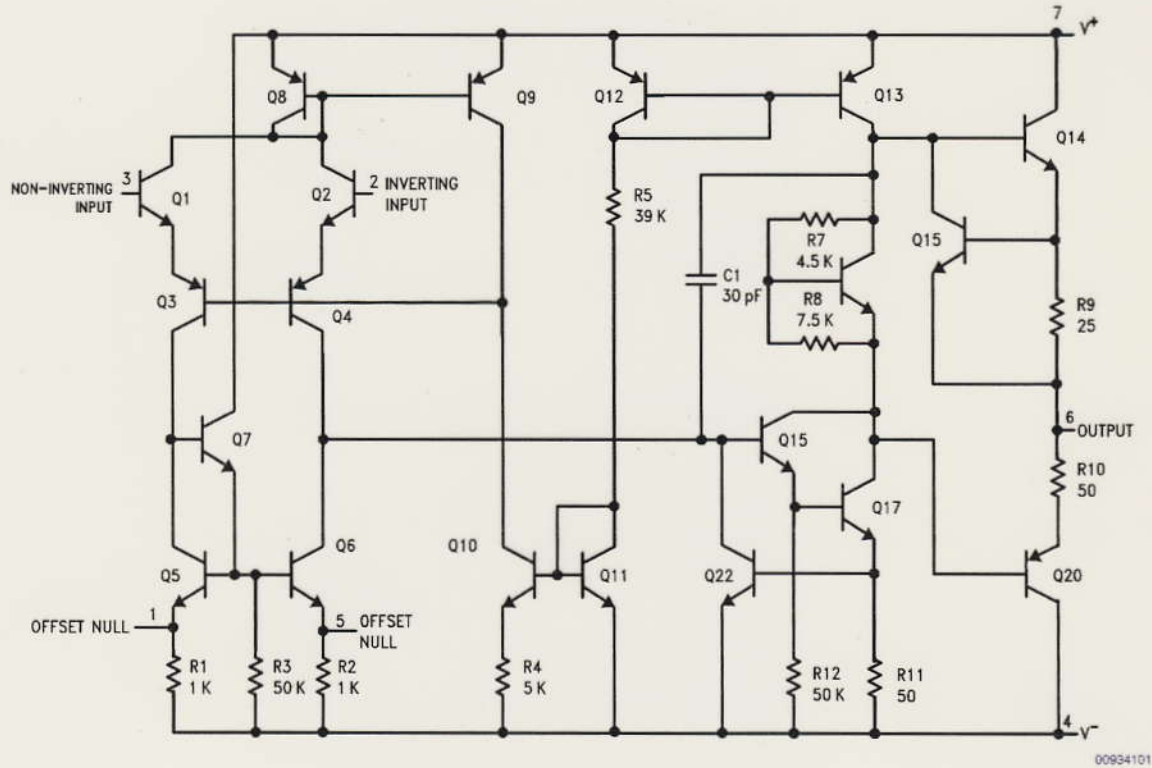
Note 5: Unless otherwise specified, these specifications apply for $V_S = \pm 15V$, $-55^\circ C \leq T_A \leq +125^\circ C$ (LM741/LM741A). For the LM741C/LM741E, these specifications are limited to $0^\circ C \leq T_A \leq +70^\circ C$.

Note 6: Calculated value from: BW (MHz) = $0.35/\text{Rise Time}(\mu s)$.

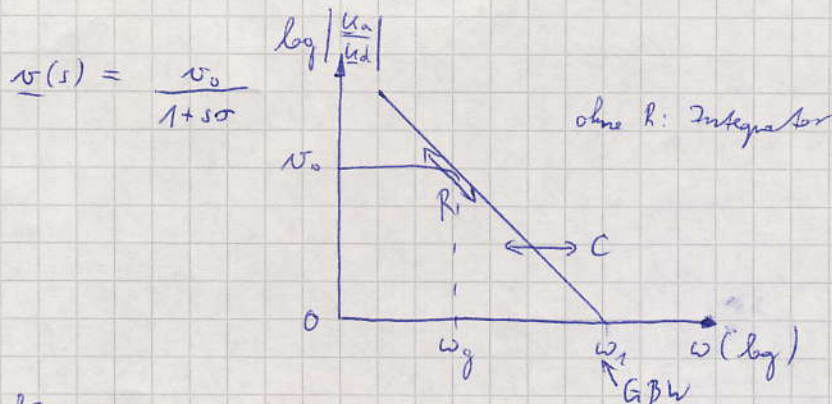
Note 7: For military specifications see RETS741X for LM741 and RETS741AX for LM741A.

Note 8: Human body model, 1.5 k Ω in series with 100 pF.

Schematic Diagram



00934101



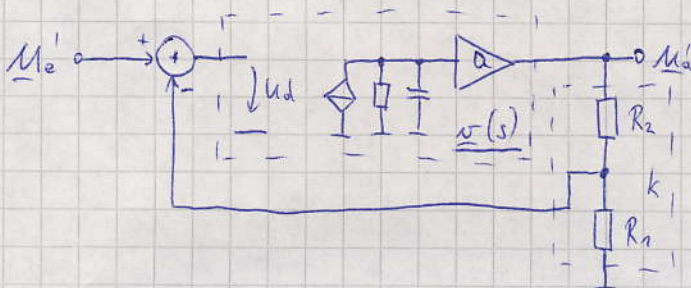
für $\omega \approx \omega_1$, $\omega \gg \omega_g$: $sCR \gg 1$

$$\left| \frac{U_a}{U_d} \right| = \frac{a g_m R}{\omega C R} = \frac{a g_m}{\omega C} = \frac{g_{m2}}{\omega a C_k} = \frac{g_m}{\omega C_k}$$

$$\omega_1 = \frac{g_m}{C_k} \quad \frac{1}{\omega_g} = CR = a C_k R \quad (= \frac{v_0}{g_m} C_k)$$

Folien R, C

Wirkung der Gegenkopplung



$$\underline{v}(s) = \frac{v_0}{1+s\tau}$$

$$k = \frac{R_2}{R_1 + R_2}$$

$$M_a' = v(s) (M_e' - k M_a') \rightarrow \frac{M_a'}{M_e'} = \frac{v(s)}{1 + k v(s)} = \frac{v_0}{1 + k v_0 + s\tau} = \frac{v_0}{g + s\tau}$$

$$v'(0) = \frac{v_0}{g} \quad \omega_g = \omega_g \cdot g \quad \rightarrow \omega_1 = v'(0) \cdot \omega_g = v_0 \cdot \omega_g$$

↳ GBW unabhängig von g, aussagekräftiger als ω_g

Folie g, Folie 741, Hinweis 2. Pol

Beispiel LMX21 GBW = 1,3 MHz → Folie LMX321

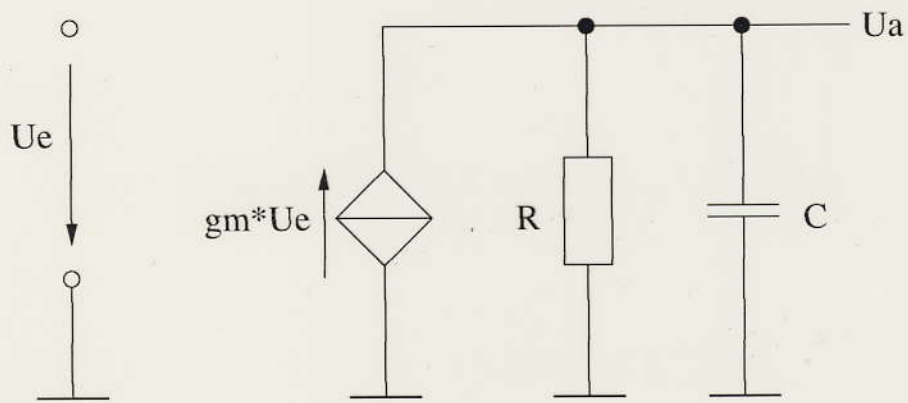
gefordert: Verstärker mit $v_0 = 100$, $f_{gr} = 100$ kHz

LMX321: einstufig: $f_{gr} = GBW / v_0 = 13$ kHz → zu niedrig

Abhilfe: 2-stufiger Aufbau mit $v_{stufe} = 10$, $f_{gr} = 130$ kHz

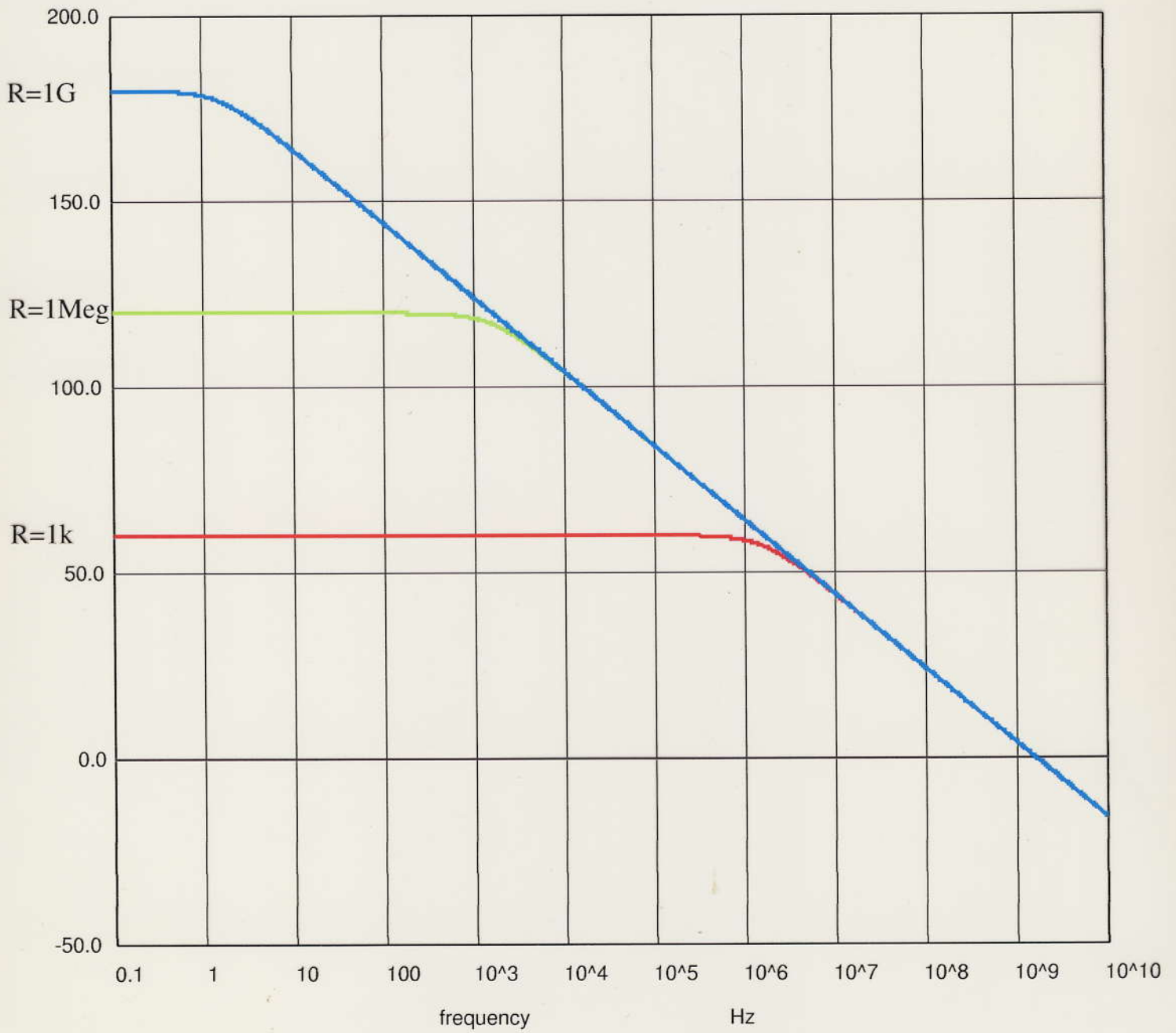
oder schnelleres OPV mit $GBW = f_{gr} \cdot v_0 = 100$ MHz

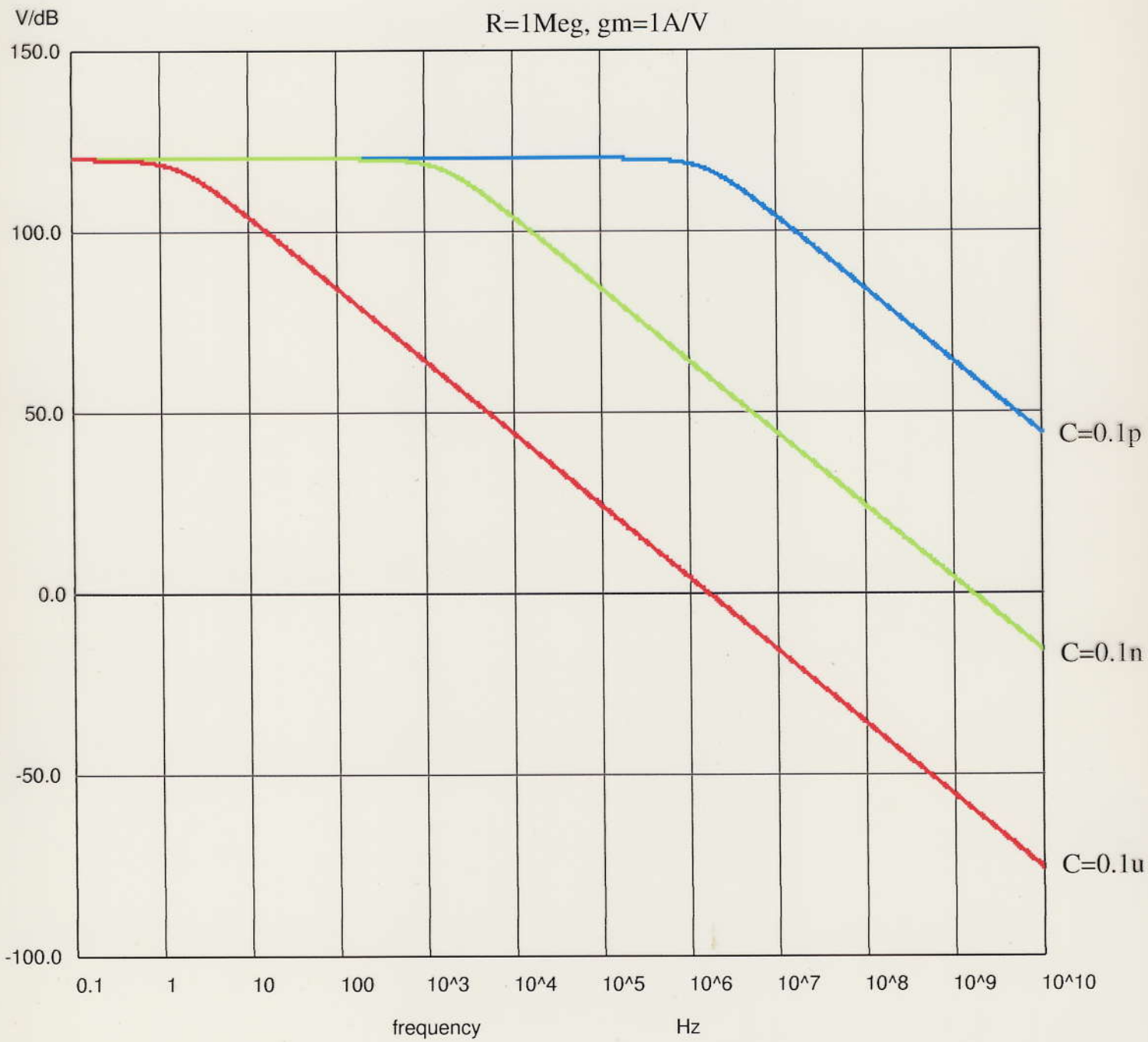
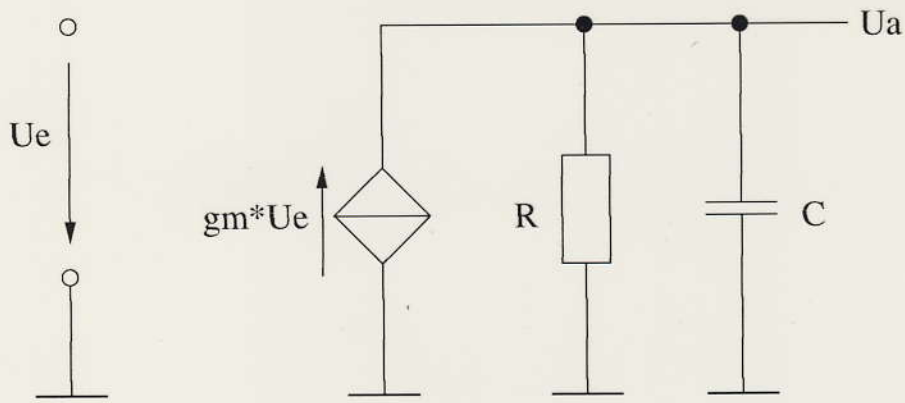
z. B. CLC 430 von National Instruments
Semiconductor
100 MHz General Purpose OPA

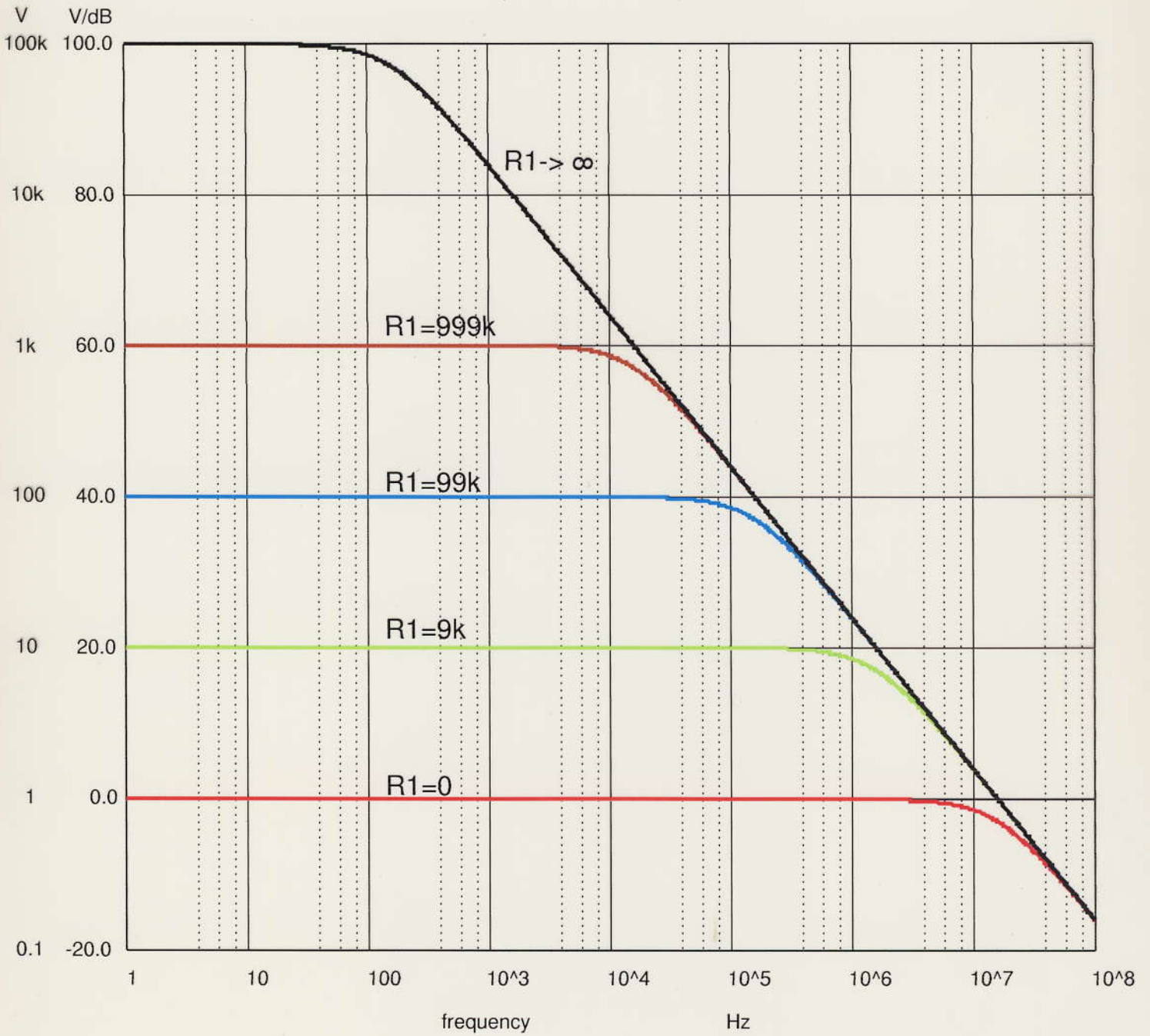
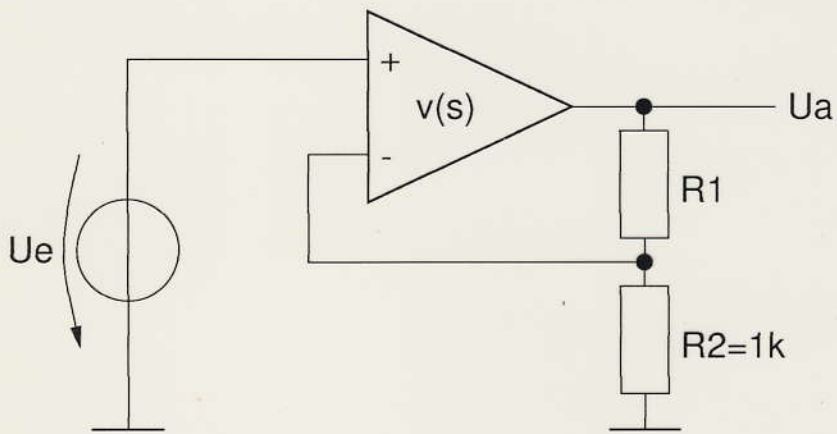


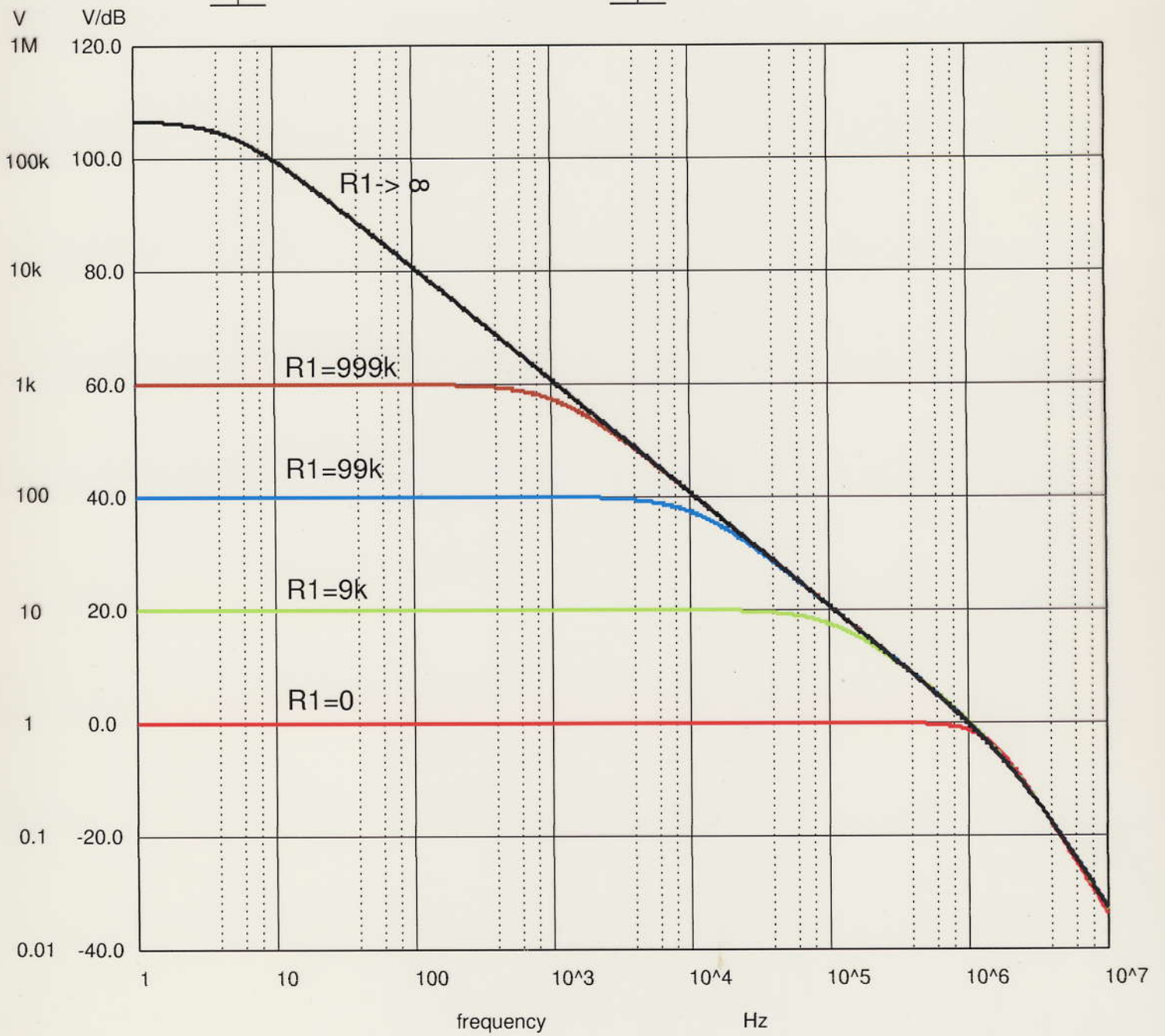
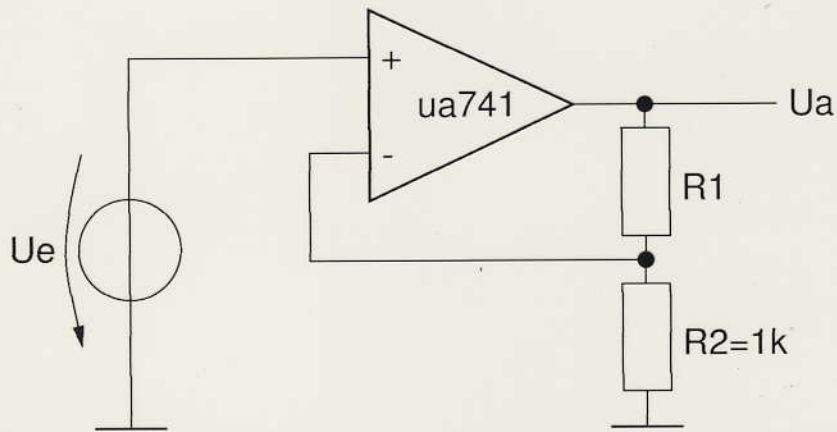
V/dB

$C=100\text{p}$, $g_m=1\text{A/V}$









MAXIM

Single/Dual/Quad, General-Purpose, Low-Voltage, Rail-to-Rail Output Op Amps

General Description

The LMX321/LMX358/LMX324 are single/dual/quad, low-cost, low-voltage, pin-to-pin compatible upgrades to the LMV321/LMV358/LMV324 family of general purpose op amps. These devices offer Rail-to-Rail® outputs and an input common-mode range that extends below ground. These op amps draw only 105µA of quiescent current per amplifier, operate from a single +2.3V to +7V supply, and drive 2kΩ resistive loads to within 40mV of either rail. The LMX321/LMX358/LMX324 are unity-gain stable with a 1.3MHz gain-bandwidth product capable of driving capacitive loads up to 400pF. The combination of low voltage, low cost, and small package size makes these amplifiers ideal for portable/battery-powered equipment.

The LMX321 single op amp is available in ultra-small 5-pin SC70 and space-saving 5-pin SOT23 packages. The LMX358 dual op amp is available in the tiny 8-pin SOT23 package. The LMX324 quad op amp is available in 14-pin TSSOP and SO packages.

Applications

Cellular Phones
Laptops
Low-Power, Low-Voltage Applications
Portable/Battery-Powered Equipment
Cordless Phones
Active Filters

Features

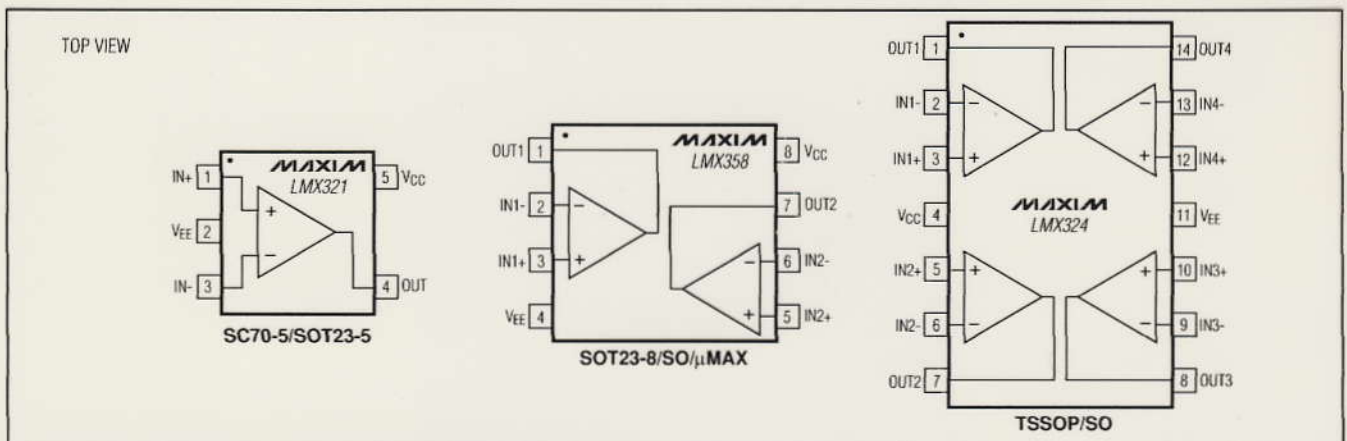
- ◆ Upgrade to LMV321/LMV358/LMV324 Family
- ◆ Single +2.3V to +7V Supply Voltage Range
- ◆ Available in Space-Saving Packages
 - 5-Pin SC70 (LMX321)
 - 8-Pin SOT23 (LMX358)
 - 14-Pin TSSOP (LMX324)
- ◆ 1.3MHz Gain-Bandwidth Product
- ◆ 105µA Quiescent Current per Amplifier ($V_{CC} = +2.7V$)
- ◆ No Phase Reversal for Overdriven Inputs
- ◆ No Crossover Distortion
- ◆ Rail-to-Rail Output Swing
- ◆ Input Common-Mode Voltage Range: $V_{EE} - 0.2V$ to $V_{CC} - 0.8V$
- ◆ Drives 2kΩ Resistive Loads

Ordering Information

PART	TEMP. RANGE	PIN-PACKAGE
LMX321AXK-T	-40°C to +125°C	5 SC70-5
LMX321AUK-T	-40°C to +125°C	5 SOT23-5
LMX358AKA-T	-40°C to +125°C	8 SOT23-8
LMX358ASA	-40°C to +125°C	8 SO
LMX358AUA	-40°C to +125°C	8 µMAX
LMX324ASD	-40°C to +125°C	14 SO
LMX324AUD	-40°C to +125°C	14 TSSOP

Selector Guide appears at end of data sheet.

Pin Configurations



Rail-to-Rail is a registered trademark of Nippon Motorola, Ltd.

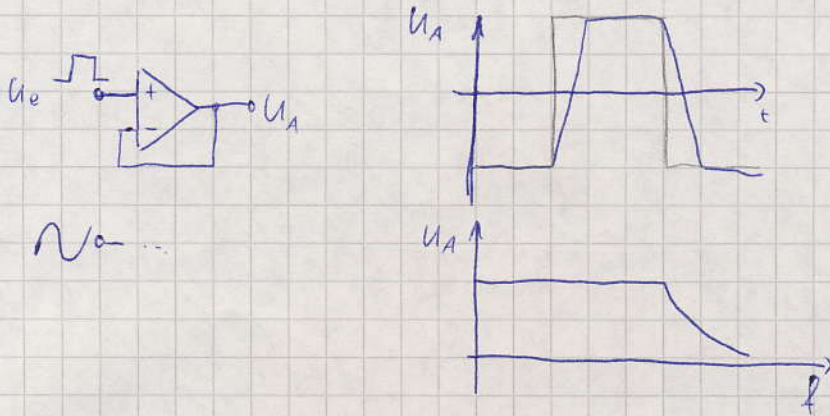
MAXIM

Maxim Integrated Products 1

For pricing, delivery, and ordering information, please contact Maxim/Dallas Direct! at 1-888-629-4642, or visit Maxim's website at www.maxim-ic.com.

LMX321/LMX358/LMX324

2.2.1.3. Dynam. Großsignalverhalten



No...

→ Folie LM107

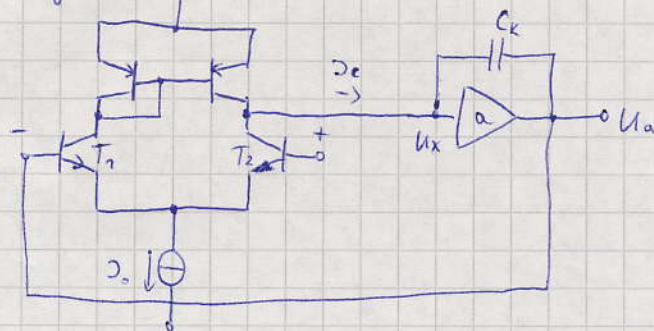
Definition Slew-Rate (SR^+ , SR^-) als maximalen Spannungsanstieg

$$SR = \left| \frac{dU_A}{dt} \right|_{\max}$$

daraus: Full Power Response Bandwidth (Leistungsbandbreite)

$$FPBW = \frac{SR}{2\pi U_A}$$

Berechnung SR:



└ Sprung am + Eingang $\rightarrow T_1$ steuert, $I_0 = -I_0 = C_k \frac{d(U_x - U_A)}{dt}$

zeitlich linearer Anstieg von U_A , $a \gg 1 \rightarrow +I_0 = C_k \frac{dU_A}{dt}$

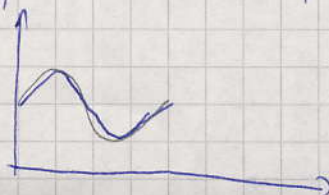
$$SR = \left| \frac{dU_A}{dt} \right|_{\max} = \frac{I_0}{C_k}$$

Bsp. LMX321 $SR = 1V/\mu s$
 $\mu A 741$ $SR = 0,3V/\mu s$

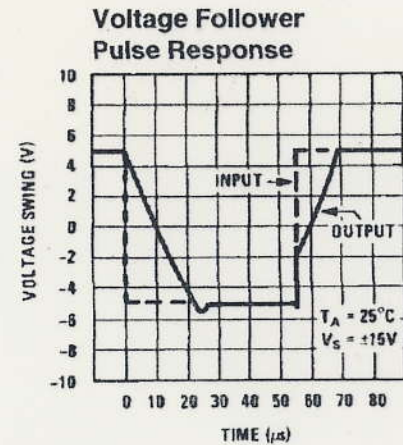
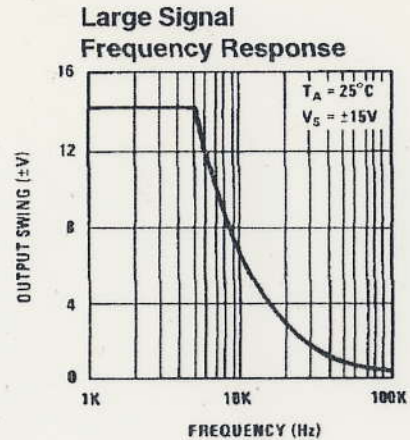
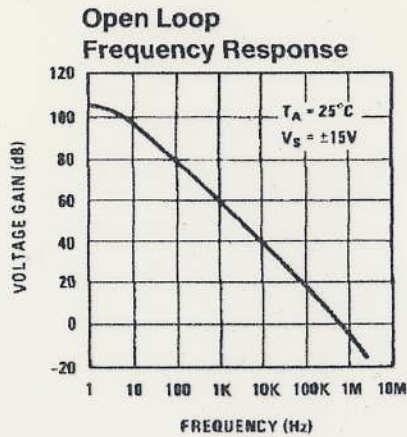
Bsp.: Verstärker mit LMX321 und 100 kHz Kleinsignalbandbreite:

$$U_{Amax} = \frac{SR}{2\pi f} = 1,6V$$

bei höheren Frequenzen / ~~Amplituden~~ Amplituden:



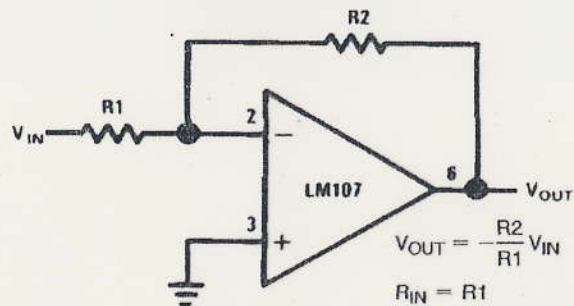
Typical Performance Characteristics (Continued)



TL/H/7757-7

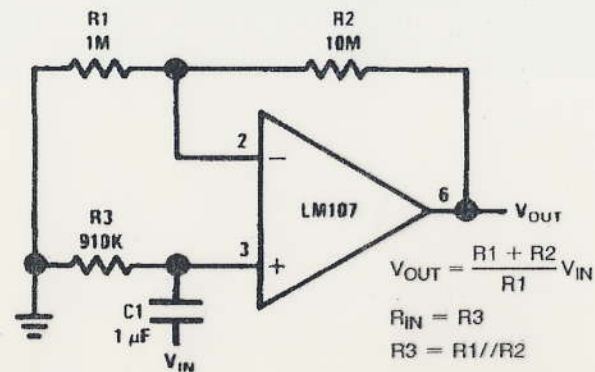
Typical Applications**

Inverting Amplifier



TL/H/7757-8

Non-Inverting AC Amplifier



TL/H/7757-9

Non-Inverting Amplifier



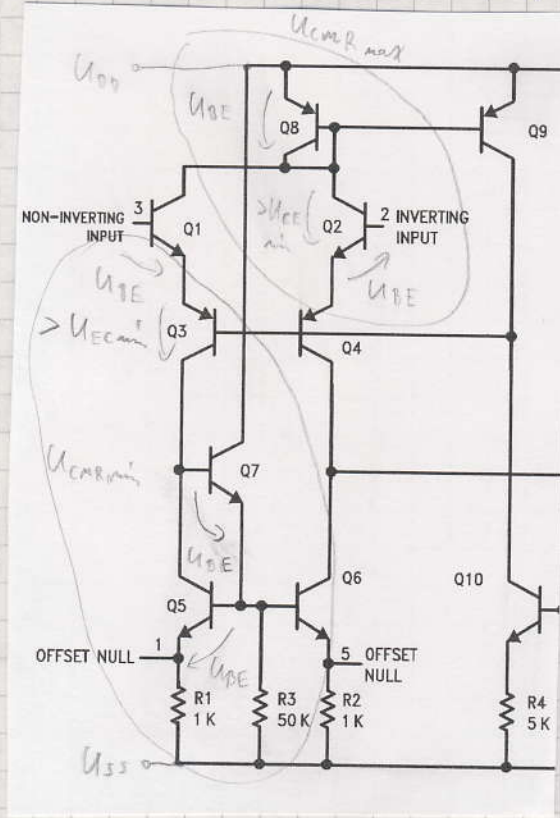
µA 741: $F_{PBW} = \frac{0,33 \cdot 10^6 V}{2\pi \cdot 10V \cdot s} = 5,3 kHz$

weitere Kenngrößen:

Input Voltage Range / Common mode input range, CMRI

- statische
Großsignalgröße

Begrenzung des Eingangsspannungsbereiches durch
Arbeitsbereichsgrenzen, Bsp. µA 741: (Folie 741)



min. Eingangsspannung:

$$U_{CMRmin} = U_{SS} + U_{R1} + 3U_{BE} + U_{CEmin}$$

0,1V 0,3V

$$\approx U_{SS} + 2,5V$$

$$U_{CMRmax} = U_{DD} - U_{BE} - U_{CEmin} + U_{BE}$$

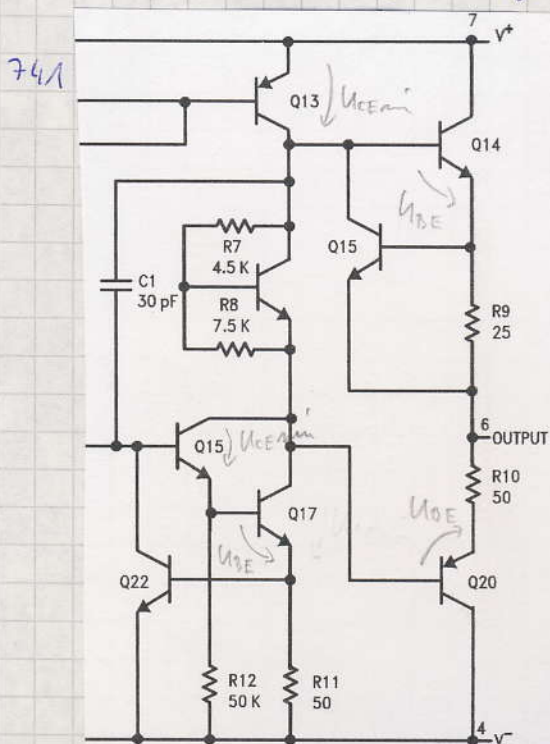
$$= U_{DD} - U_{CEmin}$$

Nutzbare Bereich

$$U_{CMRmin} < U_e < U_{CMRmax}$$

Output Voltage Swing

- statische Großsignalgröße



$$U_{SS} + U_{CEmin} + 2U_{BE} < U_a < U_{DD} - U_{CEmin} - U_{BE}$$

Common Mode Rejection CMR

Kleinwertanalyse

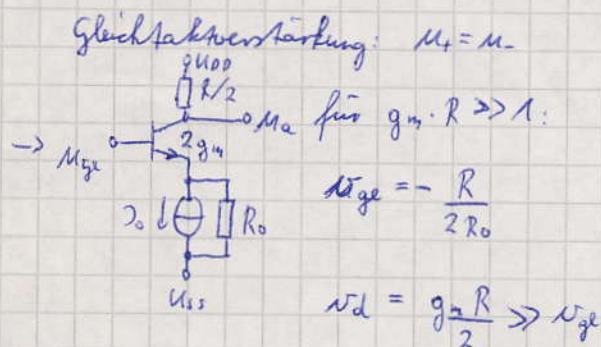
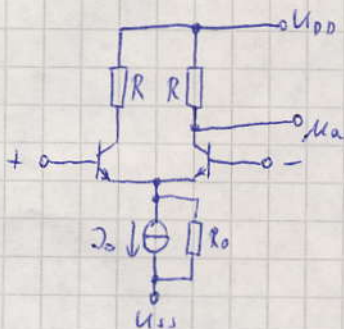
$$CMR = \left| \frac{v_o}{v_{ge}} \right| \quad \text{mit } v_{ge} = \frac{M_a}{M_{ge}}$$

Common Mode Rejection Ratio CMRR

$$\frac{CMRR}{dB} = 20 \log CMR$$

Ursache: endlicher Ausgangswiderstand von Spannungs- / Stromquellen im OPV

Beispiel Differenzstufe



gängige Werte: $CMRR \approx 80..100 \text{ dB}$

Power supply rejection ratio PSRR

Kleinwertanalyse

Ursache: Arbeitspunktmodulation mit der Versorgungsspannung

Beispiel Differenzstufe

$$v_{PWRSS} = \frac{M_a}{M_{SS}} \quad \text{Ursache } R_o$$

$$\frac{M_a}{M_{SS}} = \frac{R}{R + R_o}$$

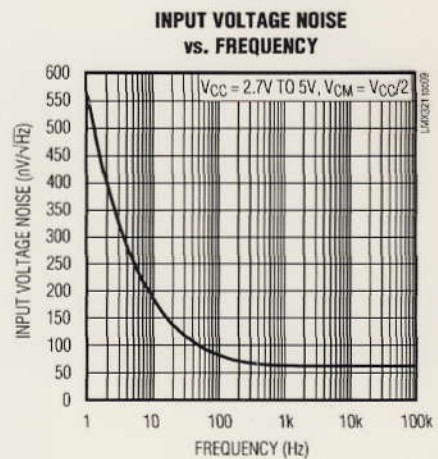
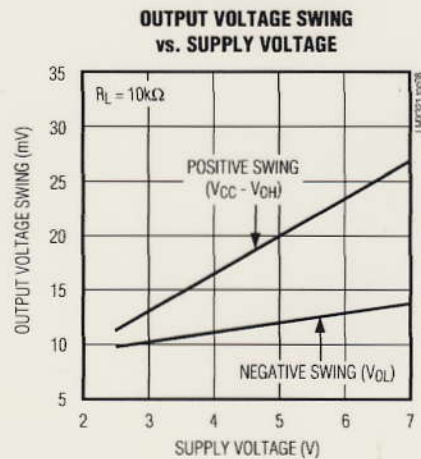
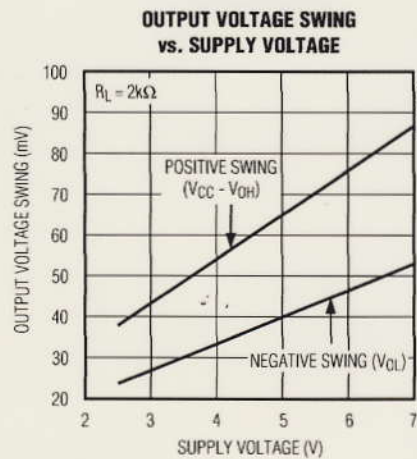
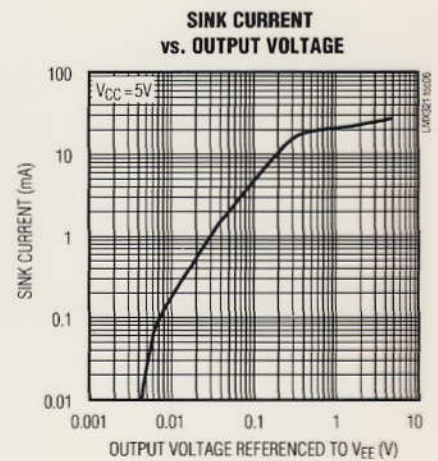
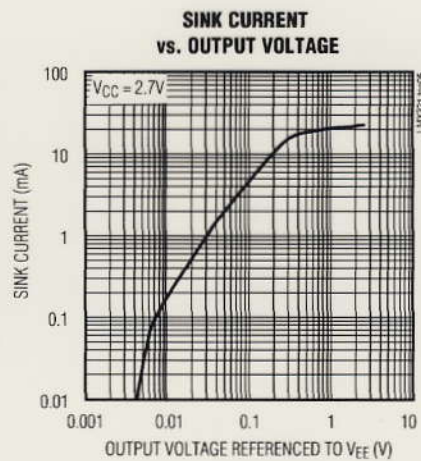
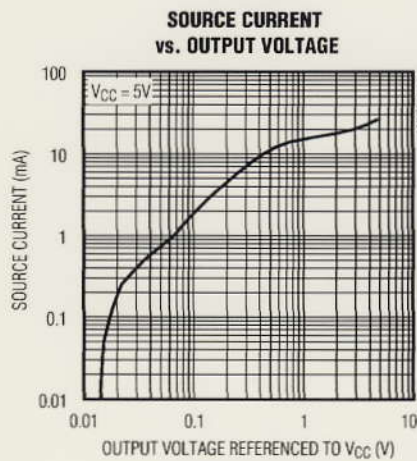
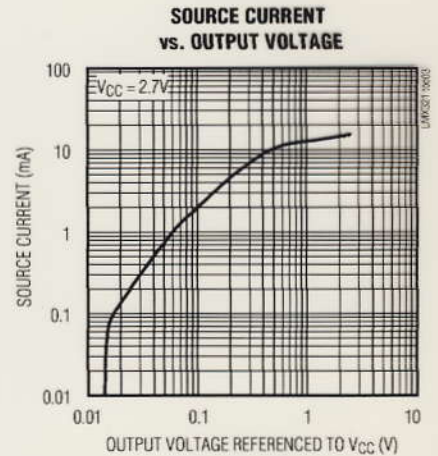
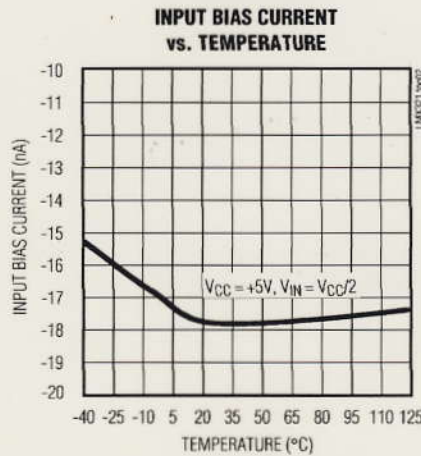
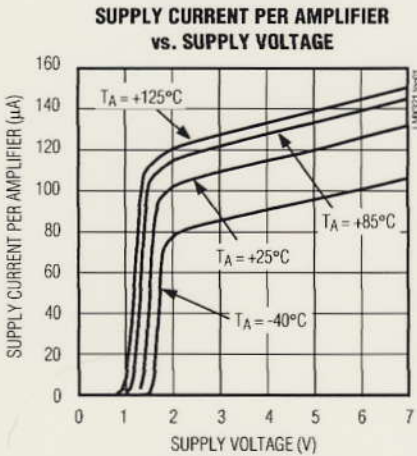
$$v_{PWRDD} = \frac{M_a}{M_{DD}} \quad \text{für } r_{CE} \rightarrow \infty: M_a = M_{DD}, v_{PWRDD} = 1$$

$$\frac{PSRR}{dB} = 20 \log \frac{v}{v_{PWR}} \quad \text{übliche Werte: } 80..100 \text{ dB}$$

Single/Dual/Quad, General-Purpose, Low-Voltage, Rail-to-Rail Output Op Amps

Typical Operating Characteristics

($T_A = +25^\circ\text{C}$, $V_{EE} = 0$, unless otherwise noted.)

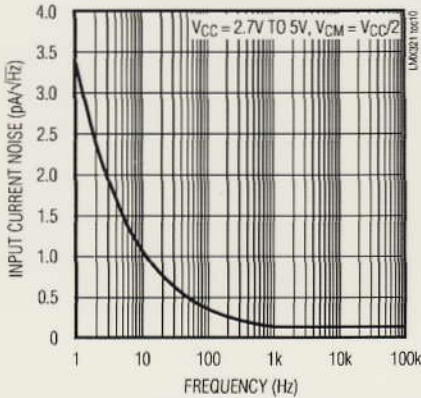


Single/Dual/Quad, General-Purpose, Low-Voltage, Rail-to-Rail Output Op Amps

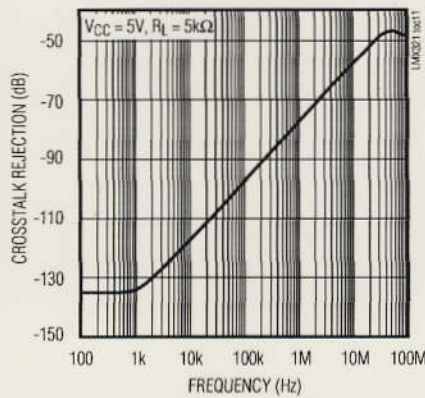
Typical Operating Characteristics (continued)

($T_A = +25^\circ\text{C}$, $V_{EE} = 0$, unless otherwise noted.)

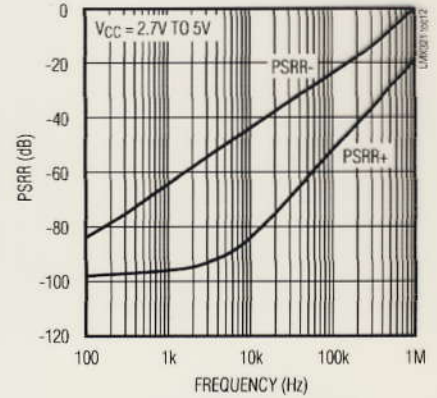
INPUT CURRENT NOISE vs. FREQUENCY



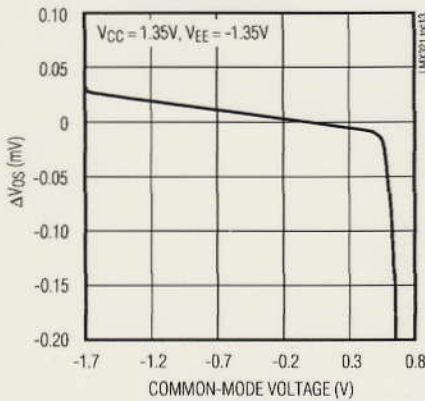
CROSSTALK REJECTION vs. FREQUENCY



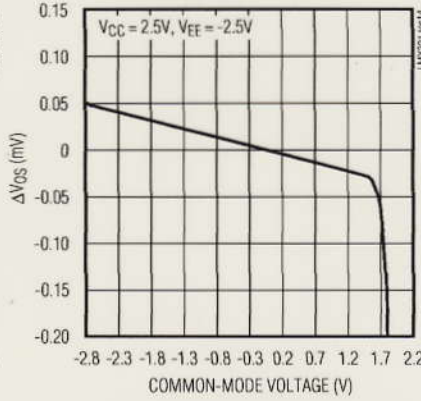
POWER-SUPPLY REJECTION RATIO vs. FREQUENCY



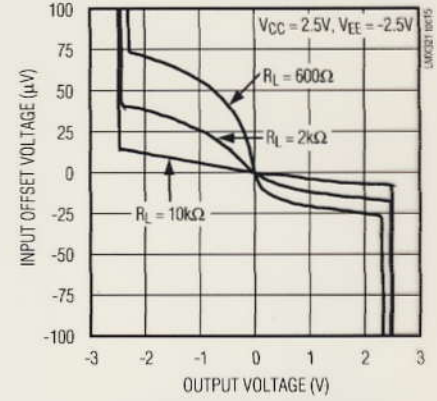
INPUT OFFSET VOLTAGE vs. COMMON-MODE VOLTAGE



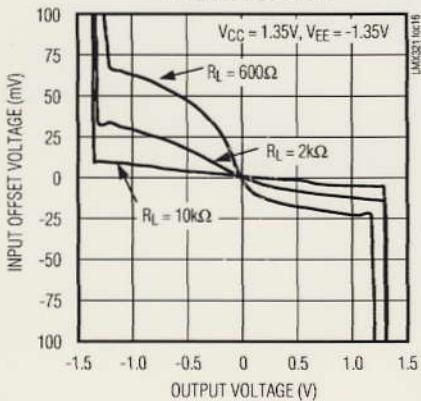
INPUT OFFSET VOLTAGE vs. COMMON-MODE VOLTAGE



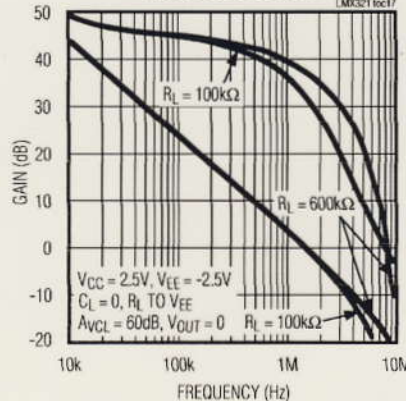
INPUT OFFSET VOLTAGE vs. OUTPUT VOLTAGE



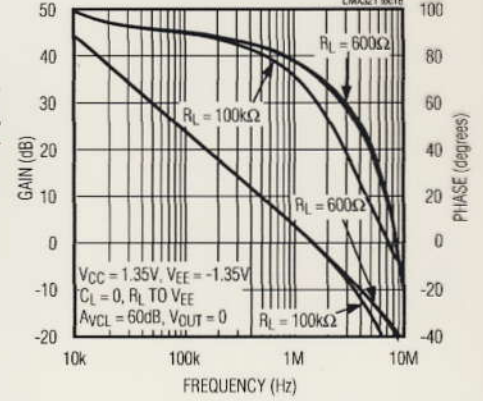
INPUT OFFSET VOLTAGE vs. OUTPUT VOLTAGE



GAIN AND PHASE vs. FREQUENCY and RESISTIVE LOAD



GAIN AND PHASE vs. FREQUENCY AND RESISTIVE LOAD

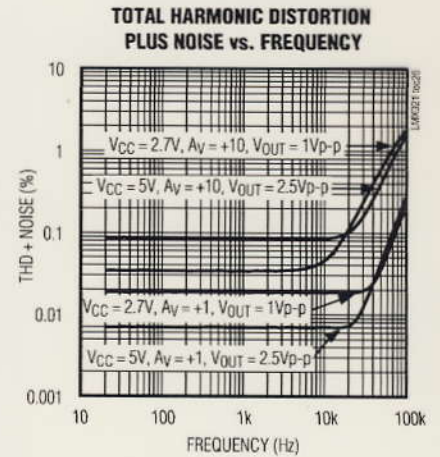
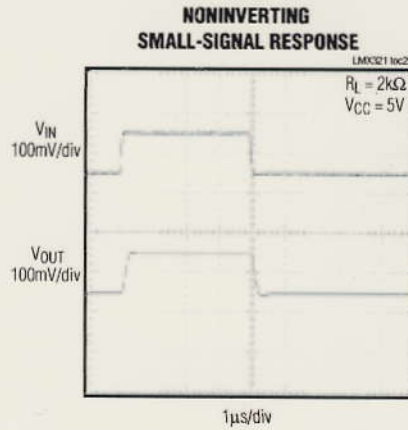
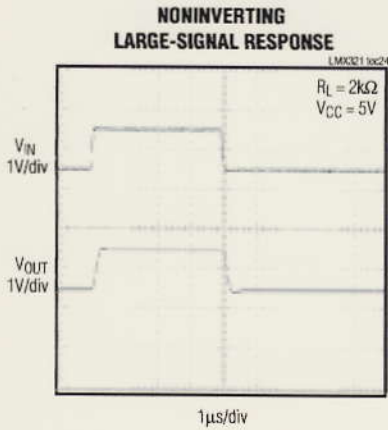
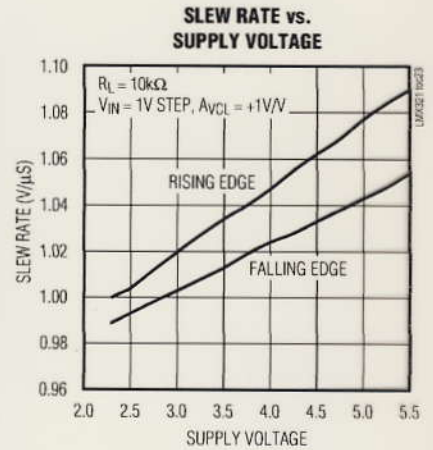
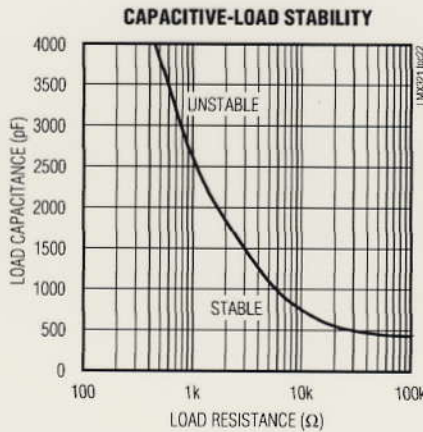
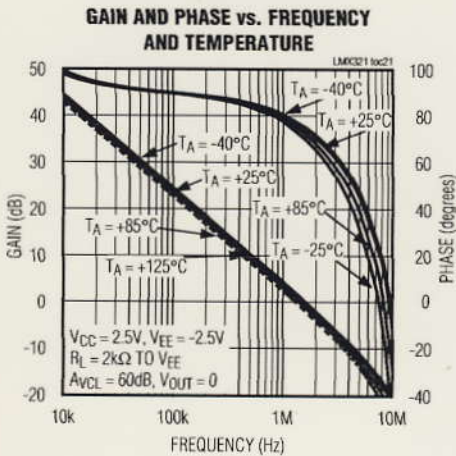
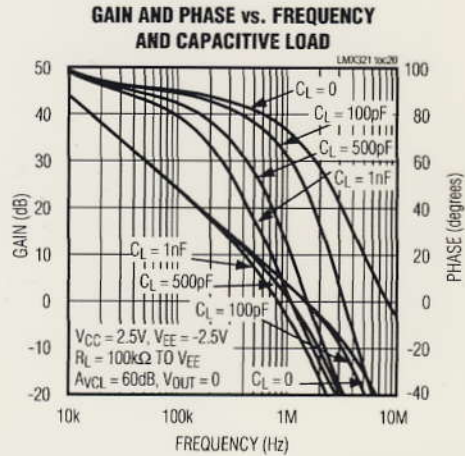
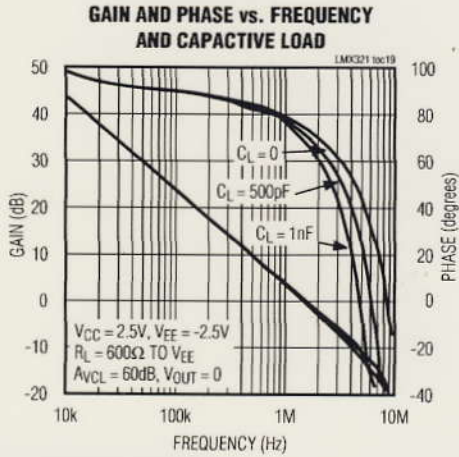


Single/Dual/Quad, General-Purpose, Low-Voltage, Rail-to-Rail Output Op Amps

LMX321/LMX358/LMX324

Typical Operating Characteristics (continued)

($T_A = +25^\circ\text{C}$, $V_{EE} = 0$, unless otherwise noted.)



Input Offset Voltage V_{os}

statistische Größenwertgröße

Wirkung: $U_a \neq 0$ für $U_d = 0$

$U_a = 0$ für $U_d = V_{os}$

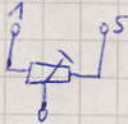
Ursache: Mismatch (kleine Abweichung von Bauelementparametern zwischen gleich dimensionierten BE)

Folie $\mu A 741$ z.B. Abweichung des Spiegelverhältnisses von Q_5 Q_6

AP-Abweichungen z.B. Stromquelle Q_{13}

→ einige OPV bieten externe Offset-Kompensation

z.B. $\mu A 741$



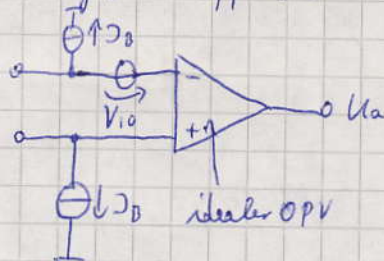
übliche Werte: $V_{os} = 0,1 \dots 10 \text{ mV}$

Input Bias Current I_B

Ursache: endliche Verstärkung von Bipolartransistoren in der Eingangsstufe - siehe $\mu A 741$

Größenordnung $10 \dots 100 \text{ nA}$

Modellierung von Offset und Biasstrom



Input Offset Current

Ursache: Biasstrom in Verbindung mit Mismatch in der Eingangsstufe

Größenordnung $< \frac{1}{10} I_B$

Folien

Offset Voltage, Input Bias und Input Offset Current sind temperaturabhängig (Drift)

Single/Dual/Quad, General-Purpose, Low-Voltage, Rail-to-Rail Output Op Amps

ABSOLUTE MAXIMUM RATINGS

Supply Voltage (V_{CC} to V_{EE})	-0.3V to +8V	8-Pin SO (derate 5.9mW/°C above +70°C)	471mW
Differential Input Voltage ($V_{IN+} - V_{IN-}$)	V_{EE} to V_{CC}	8-Pin μ MAX (derate 4.5mW/°C above +70°C)	362mW
OUT_ to V_{EE}	-0.3V to ($V_{CC} + 0.3V$)	14-Pin TSSOP (derate 9.1mW/°C above +70°C)	727mW
Output Short-Circuit Duration		14-Pin SO (derate 8.3mW/°C above +70°C)	667mW
OUT_ Shorted to V_{CC} or V_{EE}	Continuous	Operating Temperature Range	-40°C to +125°C
Continuous Power Dissipation ($T_A = +70^\circ\text{C}$)		Junction Temperature	+150°C
5-Pin SC70-5 (derate 3.1mW/°C above +70°C)	247mW	Storage Temperature Range	-65°C to +150°C
5-Pin SOT23-5 (derate 7.1mW/°C above +70°C)	571mW	Lead Temperature (soldering, 10s)	+300°C
8-Pin SOT23-8 (derate 7.52mW/°C above +70°C)	602mW		

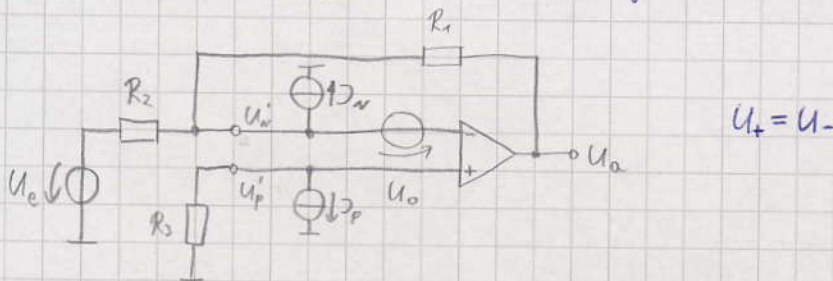
Stresses beyond those listed under "Absolute Maximum Ratings" may cause permanent damage to the device. These are stress ratings only, and functional operation of the device at these or any other conditions beyond those indicated in the operational sections of the specifications is not implied. Exposure to absolute maximum rating conditions for extended periods may affect device reliability.

ELECTRICAL CHARACTERISTICS

($V_{CC} = +2.7V$, $V_{EE} = 0$, $V_{OUT} = V_{CC}/2$, $V_{CM} = 1V$, $R_L > 1M\Omega$, $T_A = +25^\circ\text{C}$ unless otherwise noted.)

PARAMETER	SYMBOL	CONDITIONS	MIN	TYP	MAX	UNITS
DC Characteristics						
Input Offset Voltage	V_{OS}			1	6	mV
Input Offset Voltage Average Drift	TCV_{OS}			6		$\mu\text{V}/^\circ\text{C}$
Input Bias Current	I_B			18	50	nA
Input Offset Current	I_{OS}			1	8	nA
Common-Mode Rejection Ratio	CMRR	$-0.2V < V_{CM} < 1.8V$	72	92		dB
Power-Supply Rejection Ratio	PSRR	$2.3V \leq V_{CC} \leq 7V$, $V_{OUT} = 1V$	82	96		dB
Input Common-Mode Voltage Range	V_{CM}	For CMRR $\geq 72\text{dB}$	Limit	-0.2	1.8	V
			Typ	-0.2	1.9	
Large-Signal Voltage Gain	A_{VOL}	$R_L = 2k\Omega$ to V_{EE} , $0.3V < V_{OUT} < 2.4V$	20	120		V/mV
Output Voltage Swing	V_{OUT}	$R_L = 10k\Omega$ to 1.35V	$V_{CC} - V_{OH}$	12	50	mV
			V_{OL}	10	40	
		$R_L = 2k\Omega$ to 1.35V	$V_{CC} - V_{OH}$	40	110	
			V_{OL}	25	60	
Supply Current	I_{CC}	LMX321 (Single)		105	150	μA
		LMX358 (Dual)		210	300	
		LMX324 (Quad)		420	600	
AC Characteristics						
Slew Rate	SR	1V step Input		1		V/ μs
Gain-Bandwidth Product	GBW	$C_L = 200\text{pF}$		1.3		MHz
Phase Margin	ϕ_M			64		degrees
Gain Margin	GM			24		dB
Input Noise Voltage Density	e_n	$f = 1\text{kHz}$		66		$\text{nV}/\sqrt{\text{Hz}}$
Input Current Noise Density	i_n	$f = 1\text{kHz}$		0.13		$\text{pA}/\sqrt{\text{Hz}}$

Auswirkungen auf die Schaltung und Kompensation



$$-J_P R_3 = U_E \frac{R_1}{R_1+R_2} + U_a \frac{R_2}{R_1+R_2} - J_N R_1 \parallel R_2 - U_o \quad (\text{Überlagerungssatz})$$

ideales Verhalten
Offsetfehler

Fehler durch Biasstrom

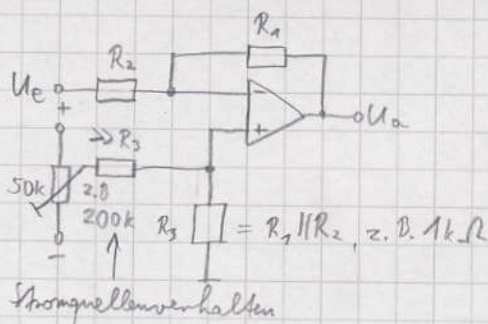
- Biasstromkompensation (für $J_N = J_P$) bei $R_3 = R_1 \parallel R_2$

Betrachtung des Restfehlers mit $J_N = J_P + J_0$

$$0 = \frac{U_E R_1 + U_a R_2}{R_1 + R_2} - J_0 R_1 \parallel R_2 - U_o$$

Besthaltung für hochohmige Quellen: R_2 groß, $J_0 R_1 \parallel R_2 > U_o \rightarrow$ Kompensation von J_0
 niederohmige Quellen: R_2 klein, $J_0 R_1 \parallel R_2 < U_o \rightarrow$ von U_o

Biasstrom- und Offsetkompensation Offsetspannungskompensation



- Kompensation funktioniert für konstante J_0 und U_o
- Restfehler durch Drift bleibt
- Problem bei Gleichspannungverstärkung / Verstärkung niedriger Frequenzen

Auswahl des OPV

Verstärkung von
 kleinen Strömen
 kleinen Spannungen

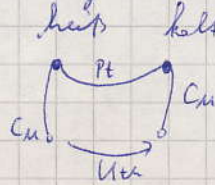
Kriterium
 geringer Offsetstrom-Drift
 geringer Offsetspannungs-Drift

Du kannst.
 Trainee bei ABB

Beispiel Temperaturmessung mit Thermoelement

$$U_{th} = 7,5 \mu\text{V}/^\circ\text{C} \cdot \Delta T$$

zu verarbeitende Spannung
im μV -Bereich



Offset - Drift des LM321 Typ. $6 \mu\text{V}/^\circ\text{C}$ - gleiche Größenordnung wie zu messendes Signal

- Abhilfe:
- Chopper - Verstärker (Zerhackverstärker)
 - Verstärker mit Driftkorrektur

Chopper - Verstärker

Prinzip: Folie alte Methode (früher Relaischalt))

Modulator: DC-Spannung \rightarrow AC-Spannung AM

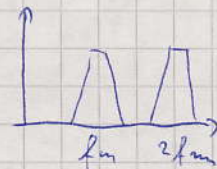
HP: Entfernen von DC-Anteilen ~~offset~~

v: Verstärkung des Wechselsignals

Demodulator: AC \rightarrow DC - Conversion

TP: Entfernen der anderen Mischprodukte (Reconstruction-Filter)

- Funktion
- Blockabbild
- Beweis auf Spektralverhalten, Messung, Abtasttheorem



Rauschen abhängig von Chopperfrequenz

Höhere Chopper-Frequenz führt zu niedrigerem Rauschen

typische Werte 10 Hz ... 100 kHz

Folie TC 7652

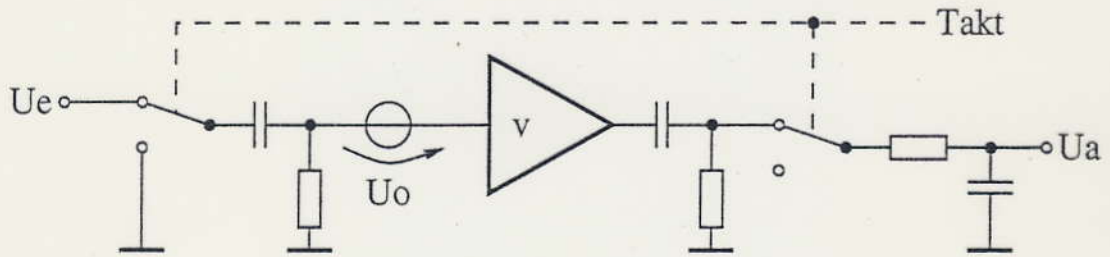
Verstärker mit Driftkorrektur (Auto-Zero)

Folie Driftunterdrückung

dargestellte Schaltstellung: normaler Betrieb mit $U_a = v \cdot U_e$
zweite Schaltstellung: Kalibrierung - $U_e = U_0$, $U_a = \text{konst.}$ wegen zweiter Kapazität

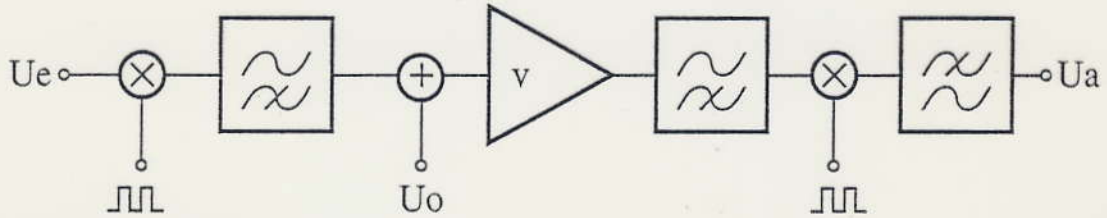
Driftunterdrückung

a) Prinzip Chopperverstärker

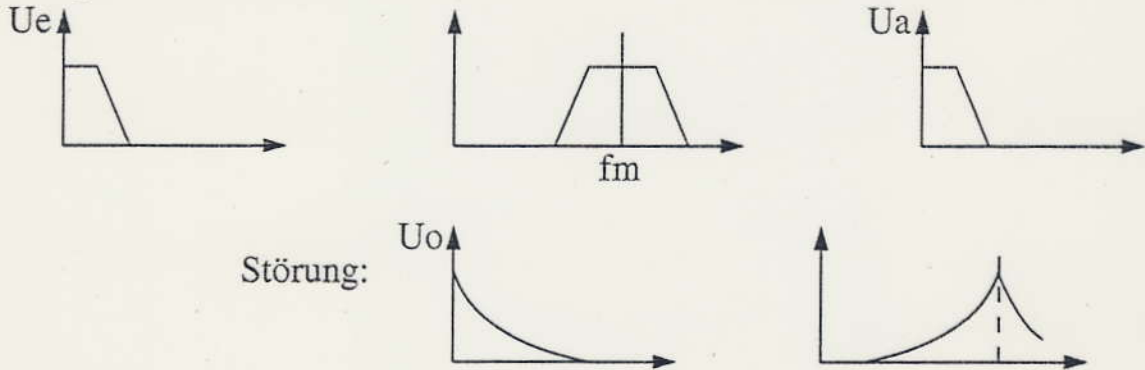


Modulator HP

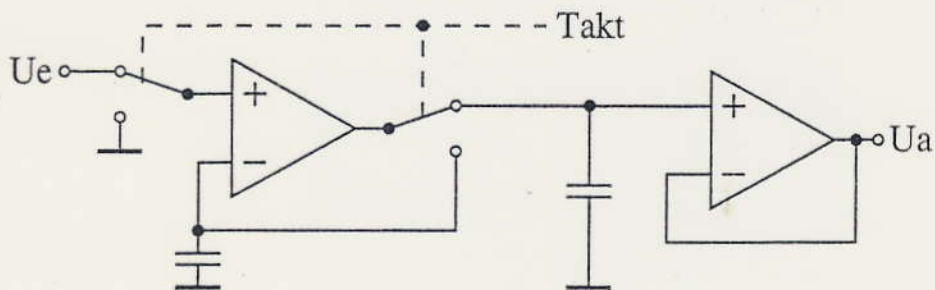
HP Demodulator TP



Spektralverhalten:



b) Prinzip Verstärker mit Driftkorrektur (Auto-Zero)



Low Noise, Chopper-Stabilized Operational Amplifier

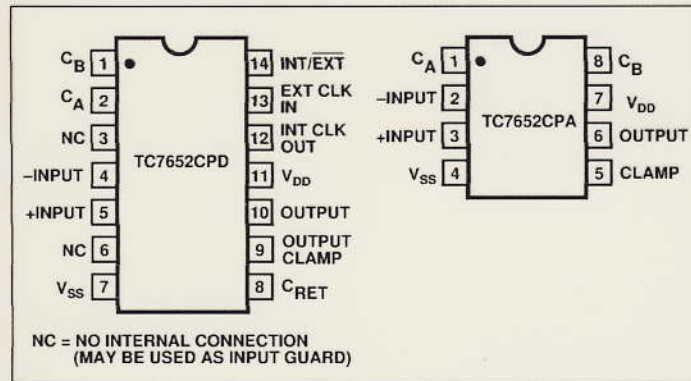
FEATURES

- Low Offset Over Temperature Range 10 μ V
- Ultra-Low Long-Term Drift 150nV/Month
- Low Temperature Drift 100nV/ $^{\circ}$ C
- Low DC Input Bias Current 15pA
- High Gain, CMRR and PSRR 110dB Min
- Low Input Noise Voltage 0.2 μ V_{p-p}; DC to 1Hz
- Internally-Compensated for Unity-Gain Operation
- Clamp Circuit for Fast Overload Recovery

GENERAL DESCRIPTION

The TC7652 is a lower noise version of the TC7650, sacrificing some input specifications (bias current and bandwidth) to achieve a 10x reduction in noise. All the other benefits of the chopper technique are present, i.e. freedom from offset adjust, drift, and reliability problems from external trim components. Like the TC7650, the TC7652 requires only two noncritical external caps for storing the chopped null potentials. There are no significant chopping spikes, internal effects or overrange lockup problems.

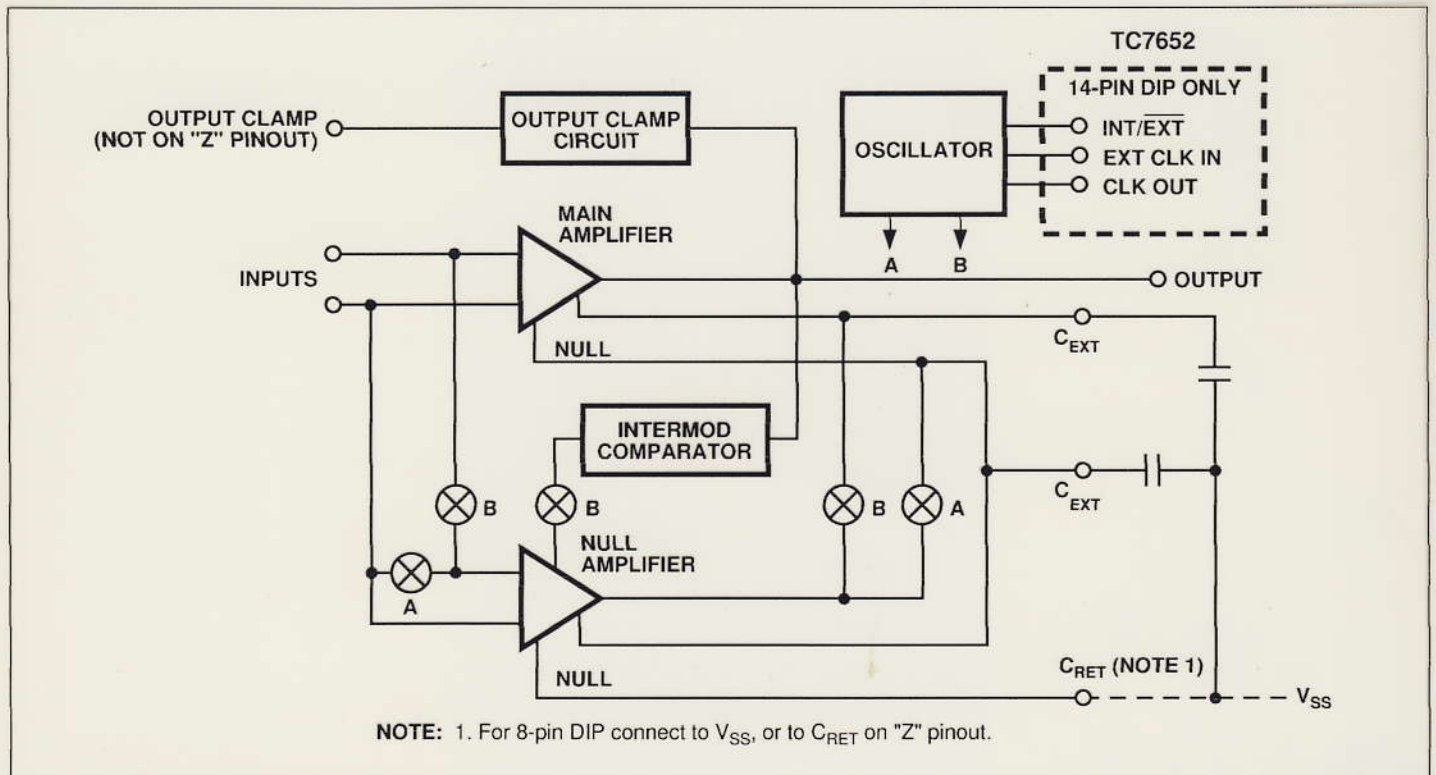
PIN CONFIGURATIONS



ORDERING INFORMATION

Part No.	Package	Temp. Range
TC7652CPA	8-Pin Plastic DIP	0 $^{\circ}$ C to +70 $^{\circ}$ C
TC7652CPD	14-Pin Plastic DIP	0 $^{\circ}$ C to +70 $^{\circ}$ C

FUNCTIONAL BLOCK DIAGRAM



Verzerrungen

Breitbandverstärker

- Es gibt:
- schnelle OPV mit schlechten Offset-Eigenschaften (2)
 - langsame OPV mit guten Offset-Eigenschaften (1)

Kombination führt auf Breitbandverstärker

Folie Breitbandverstärker

Prinzip: niedrige Frequenzen: v_1 wirksam, $v \approx -v_1 v_2$

v_1 hat niedrigen Eingangswert und kompensiert in der Gesamtabtug U_0 von v_2 .

hohe Frequenzen: $v \approx -v_2$

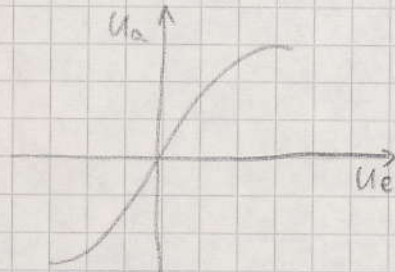
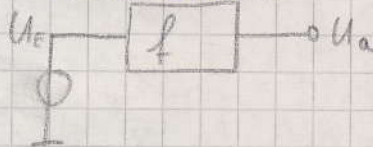
$$U_0 \approx U_{01}$$

Folie Frequenzgänge

Folie ~~Orsi~~

Verzerrungen

Nichtlinearität



$$U_E = \hat{U}_E \sin(\omega t)$$

→ Folie

$U_A = f(U_E)$
Approximation durch Taylor-Reihe

$$f(x) = v \cdot x + a_2 x^2 + a_3 x^3 + \dots$$

Annahme: $a_2 \approx 0$
 $a_4 \approx 0$

$$f(x) = v \cdot x + a_3 x^3$$

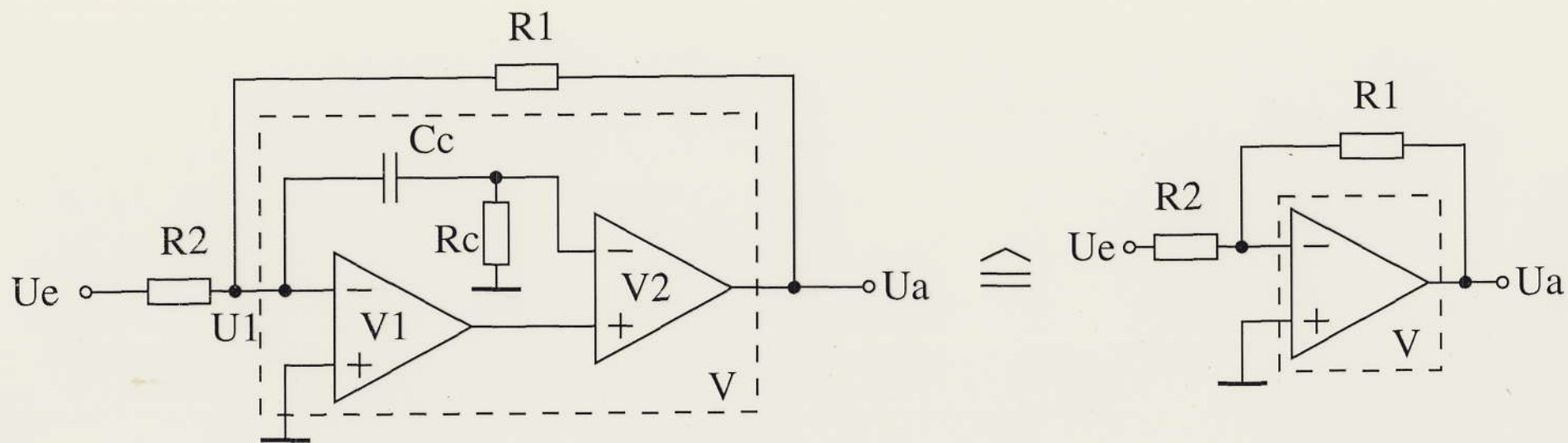
$$U_A = v \hat{U}_E \sin(\omega t) + \frac{3}{4} a_3 \hat{U}_E^3 \sin(\omega t) - \frac{1}{4} a_3 \hat{U}_E^3 \sin(3\omega t)$$

$$= \left(v + \frac{3}{4} a_3 \hat{U}_E^2\right) \hat{U}_E \sin(\omega t) - \frac{1}{4} a_3 \hat{U}_E^3 \sin(3\omega t)$$

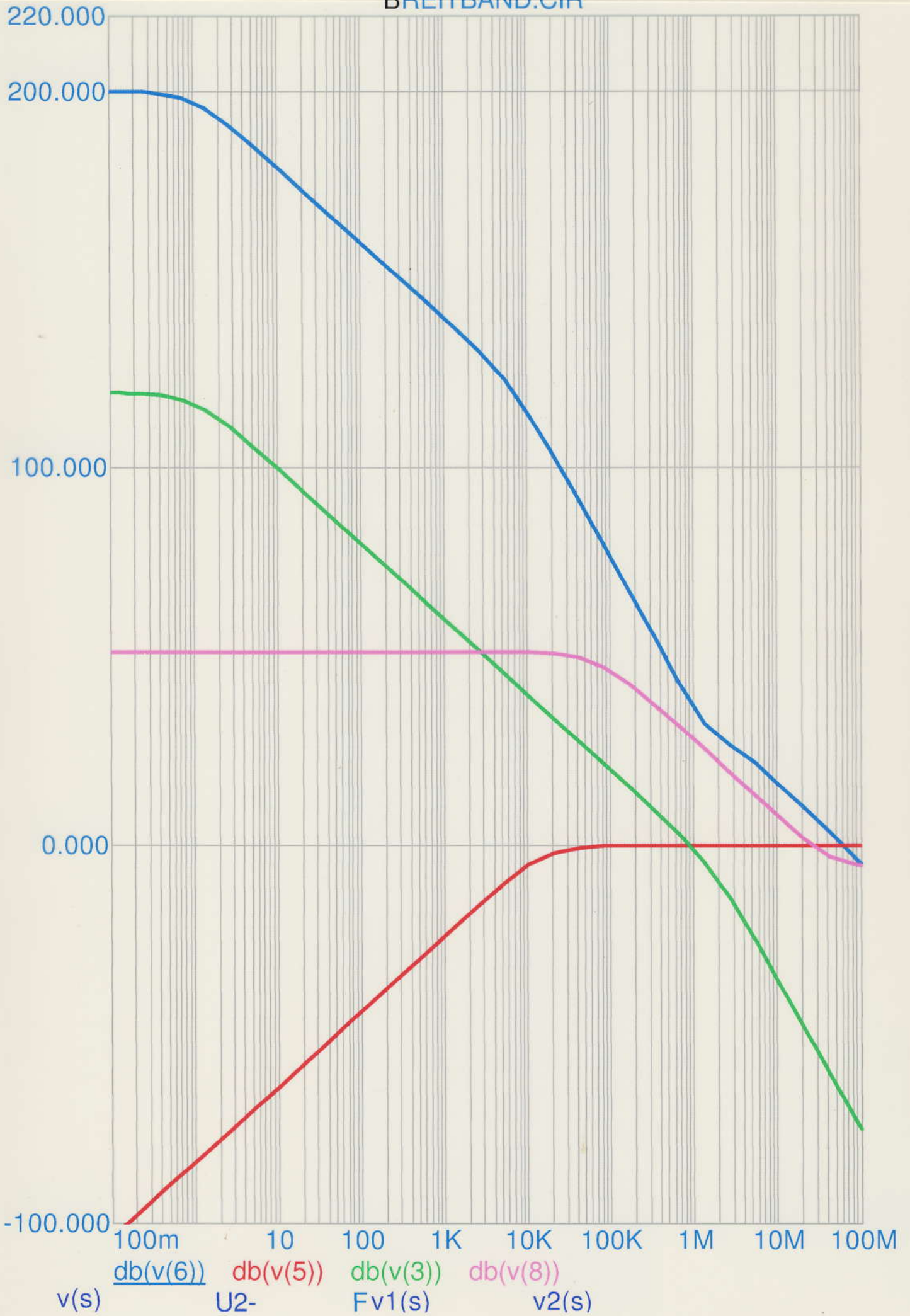
Klirrfaktor:

$$k = \sqrt{\frac{\sum_{n=2}^{\infty} \hat{U}_n^2}{\sum_{n=1}^{\infty} \hat{U}_n^2}} = \sqrt{\frac{\frac{1}{4} a_3 \hat{U}_E^2}{\left(v + \frac{3}{4} a_3 \hat{U}_E^2\right)^2 + \left(\frac{1}{4} a_3 \hat{U}_E^2\right)^2}}$$

(Total Harmonic Distortion, THD)



BREITBAND.CIR



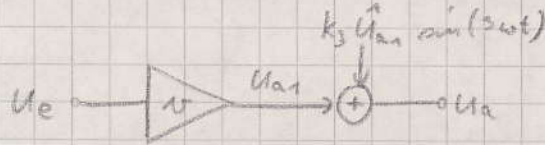
Modellierung:

Total Harmonic Distortion (THD)

$$THD = \frac{\sqrt{\sum_{n=2}^{\infty} \hat{U}_n^2}}{\hat{U}_1}$$

Modellierung:

$$U_A = \hat{U}_{A1} \sin(\omega t) + k_3 \hat{U}_{A1} \sin(3\omega t) \quad \text{mit } U_{A1} = \omega \cdot U_e$$

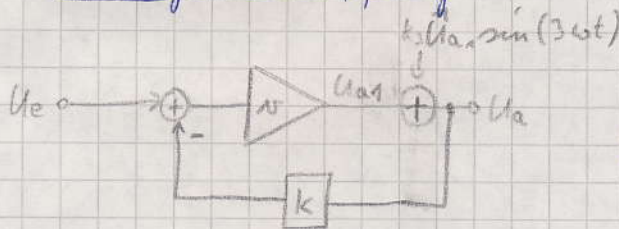


$$k_3 = f(U_{A1})$$

$$k = \frac{k_3 U_{A1}}{\sqrt{U_{A1}^2 + (k_3 U_{A1})^2}} = \frac{k_3}{\sqrt{1+k_3^2}} \approx k_3$$

$$THD = \frac{k_3 U_{A1}}{U_{A1}} = k_3$$

Wirkung der Rückkopplung



gültig für konstantes U_{A1} !

$$U_A = \hat{U}_{A1} \sin(\omega t) + k_3 \hat{U}_{A1} \sin(3\omega t)$$

Grundwelle: $U_{A1} = \omega (U_e - k U_A) \approx \omega (U_e - k U_{A1})$ für kleine k_3

$$U_{A1} = U_e \frac{\omega}{1+k\omega}$$

3. Harmonische: $U_{A3} = k_3 U_{A1} - k\omega U_{A3}$

$$U_{A3} = \frac{k_3 U_{A1}}{1+k\omega}$$

$$k_3 = \frac{\frac{k_3 U_{A1}}{1+k\omega}}{\sqrt{U_{A1}^2 + \left(\frac{k_3 U_{A1}}{1+k\omega}\right)^2}} = \frac{k_3}{\sqrt{(1+k\omega)^2 + k_3^2}} \approx \frac{k_3}{1+k\omega} \quad \text{für } k_3 \ll 1$$

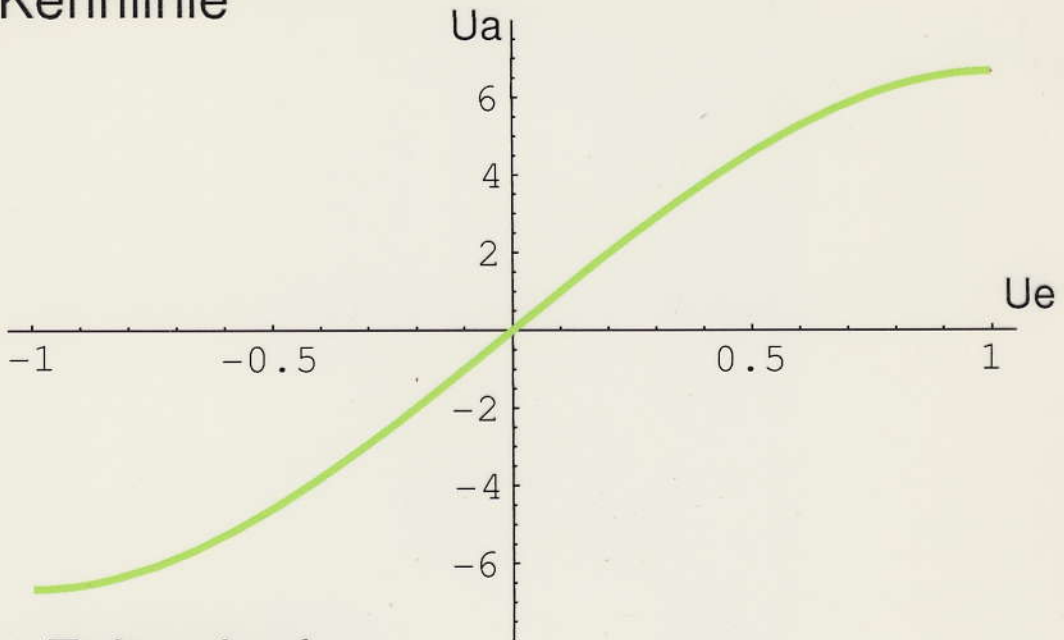
$$THD' = \frac{k_3 U_{A1}}{U_{A1}(1+k\omega)} = \frac{k_3}{1+k\omega}$$

~~Bei gleichbleibender Verstärkung verringert sich mit~~

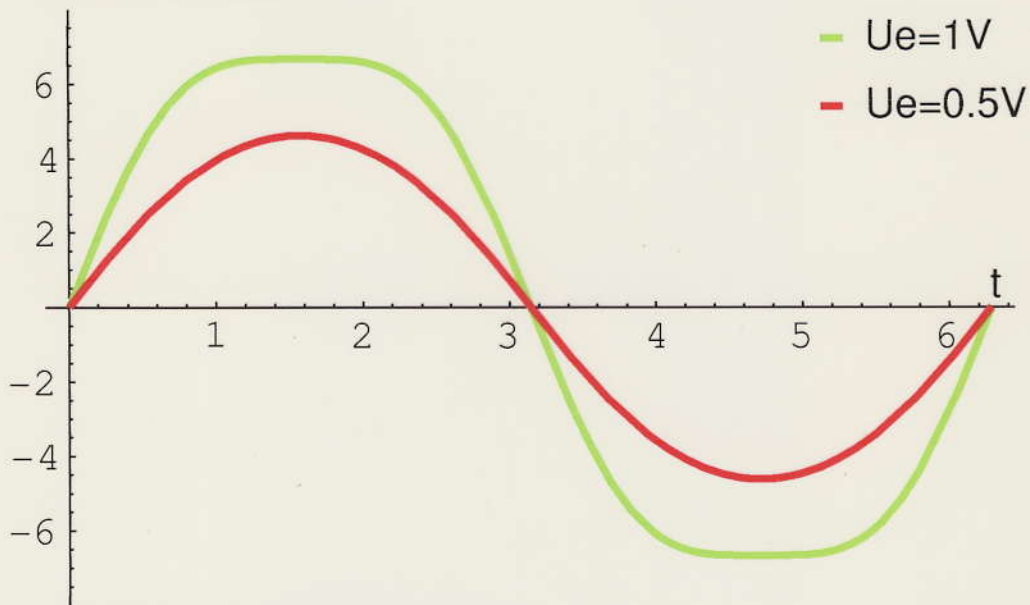
Bei gleichbleibender Aussteuerung des Verstärkers verringert sich mit zunehmender Gegenkopplung der Klirrfaktor, $k \sim \frac{1}{g}$.

-> Nutzbarer Eingangsspannungsbereich wird vergrößert

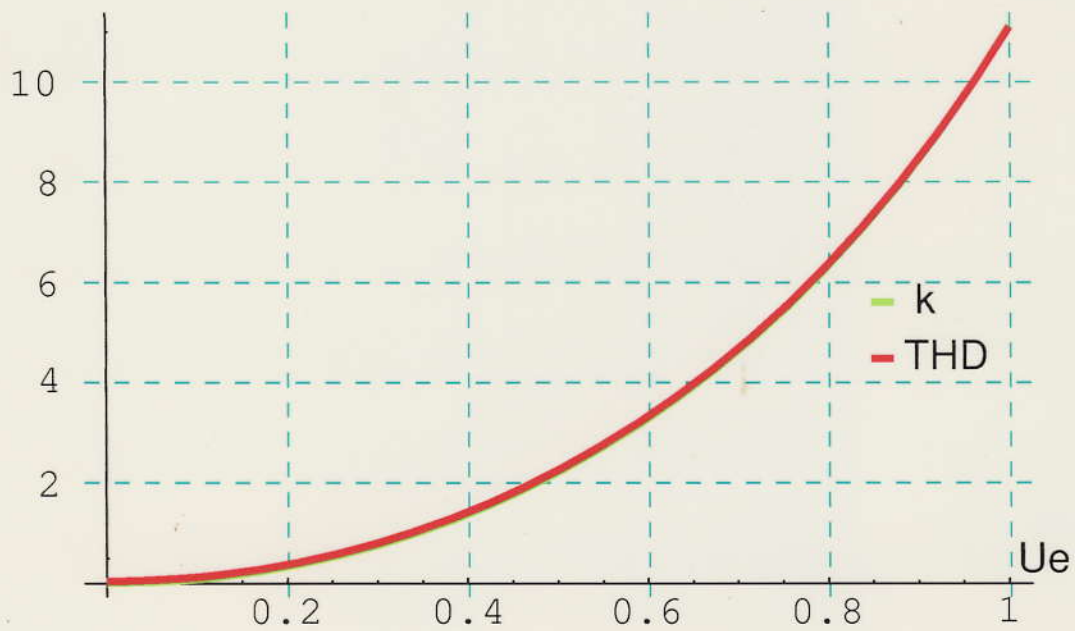
Kennlinie



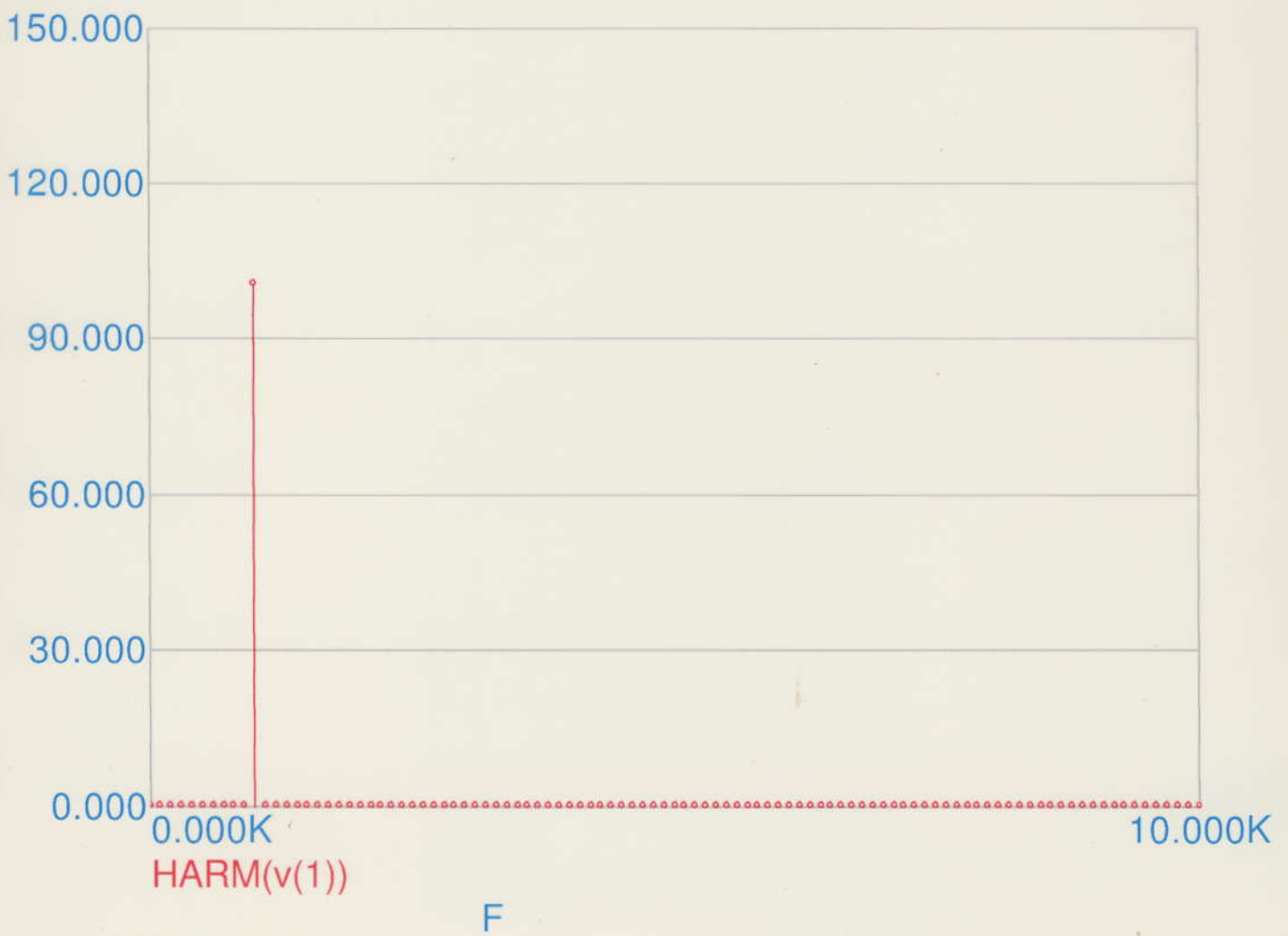
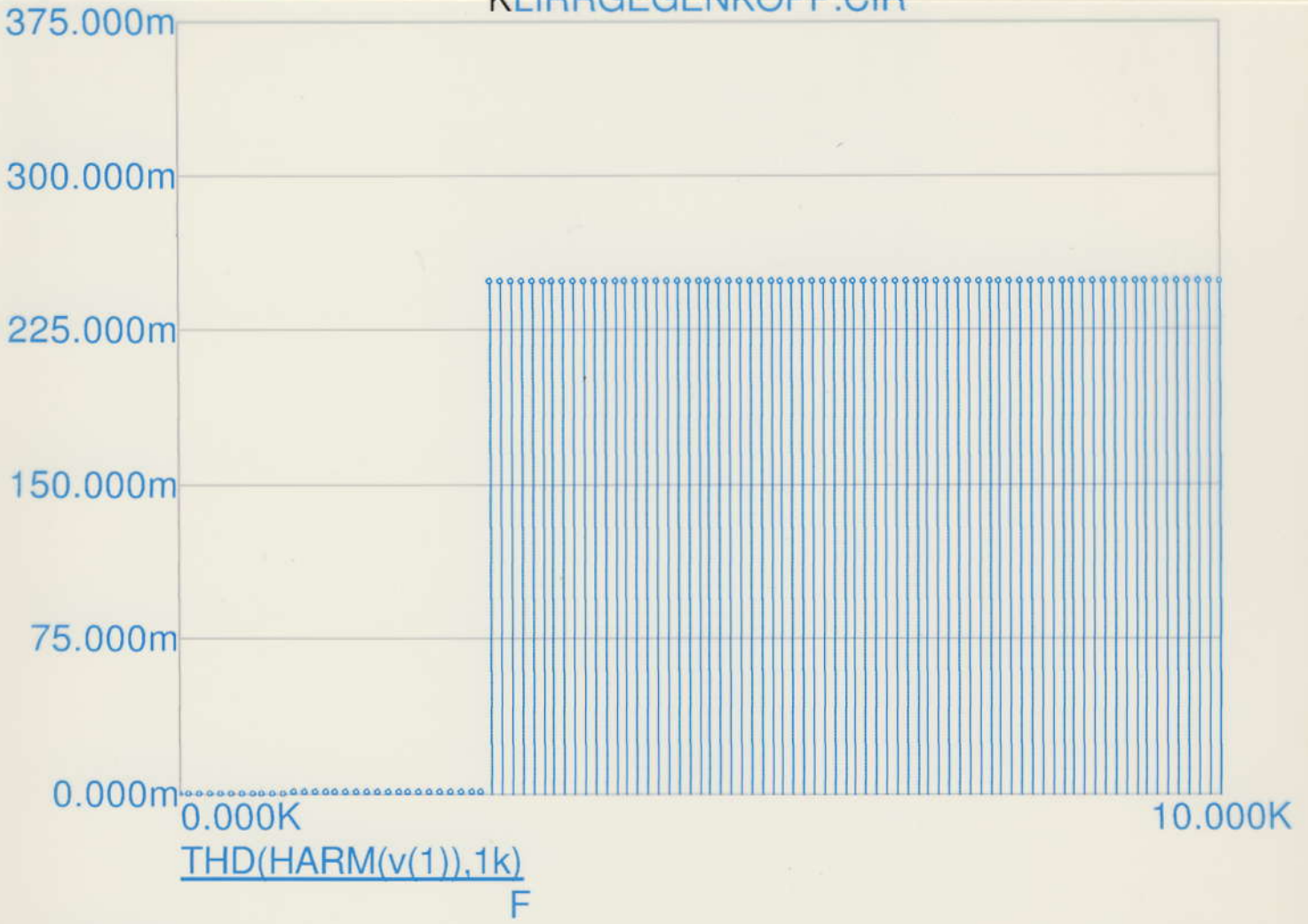
Zeitverlauf



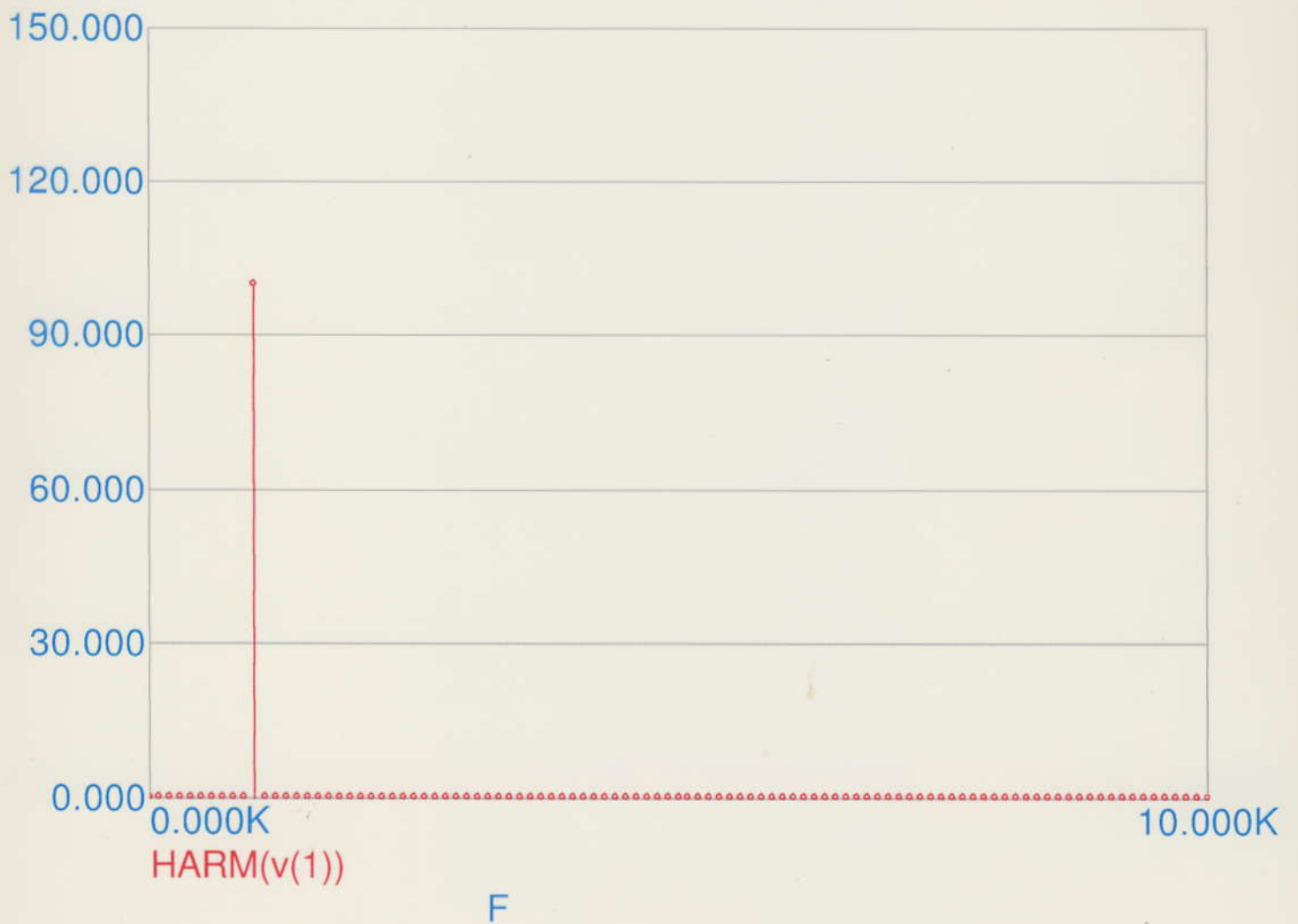
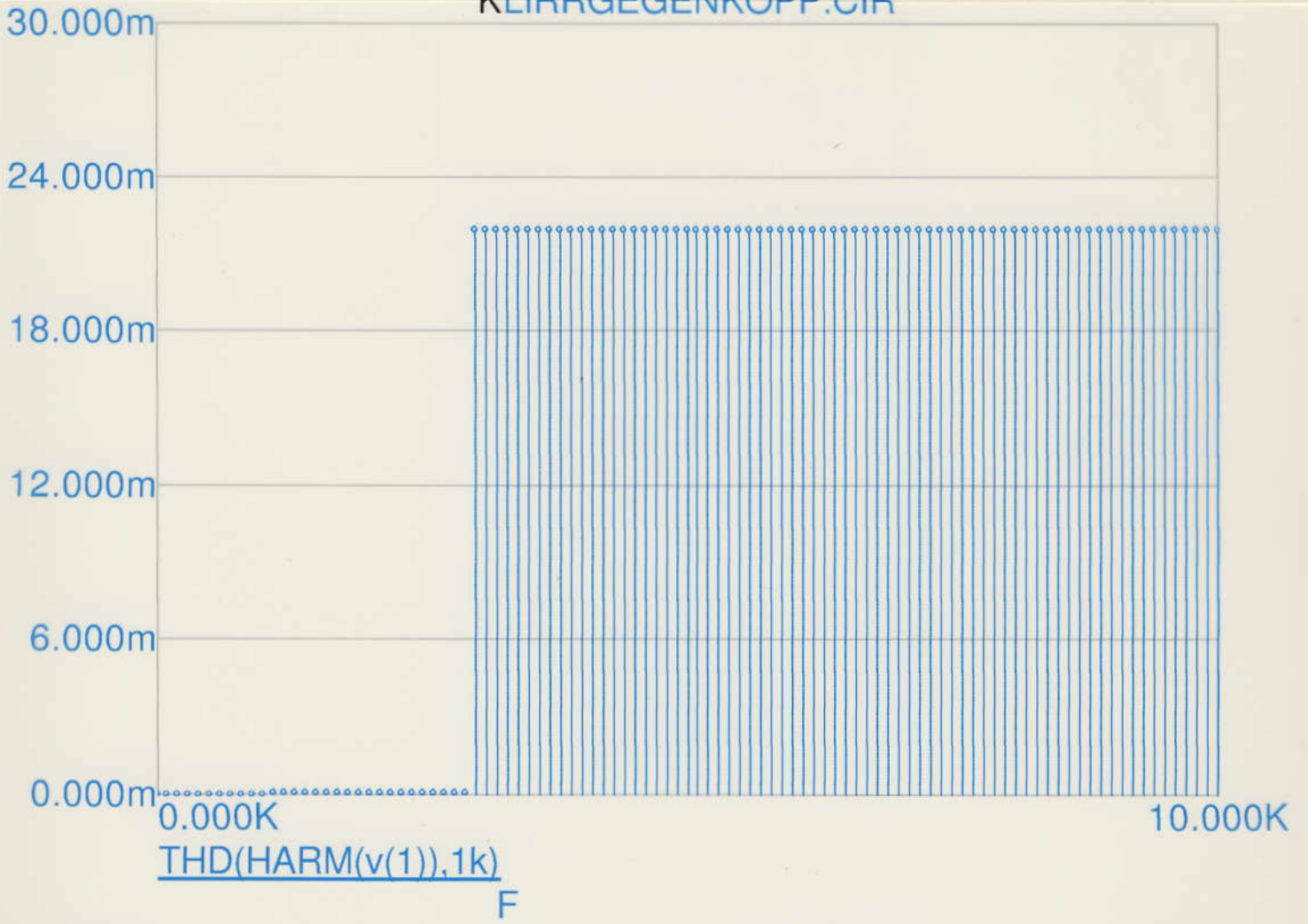
Klirrgrad, THD in %



KLIRRGEGENKOPP.CIR

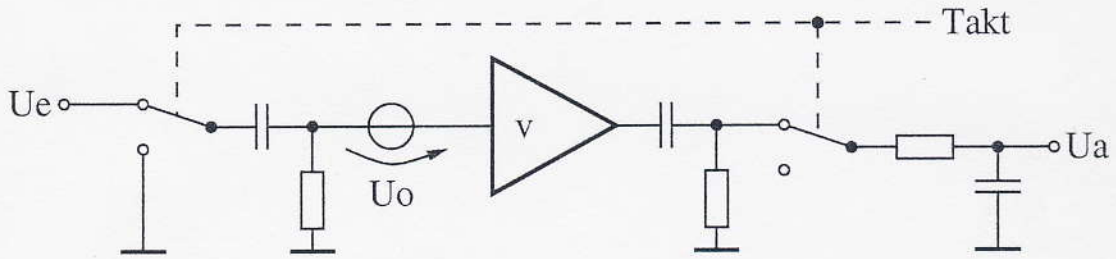


KLIRRGEGENKOPP.CIR



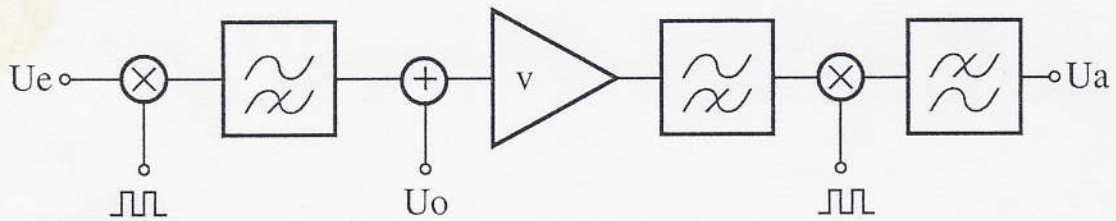
Driftunterdrückung

a) Prinzip Chopperverstärker

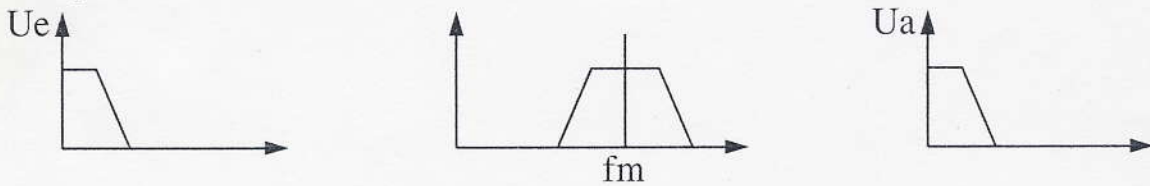


Modulator HP

HP Demodulator TP



Spektralverhalten:



b) Prinzip Verstärker mit Driftkorrektur (Auto-Zero)

